

# 低空经济气象前沿科技问题研究进展与展望

郭建平<sup>1</sup>, 张玮<sup>1</sup>, 周博闻<sup>2</sup>, 严超<sup>3</sup>, 张雪琳<sup>4</sup>, 孙玉萍<sup>1</sup>, 邓威龙<sup>1</sup>,

陈田萌<sup>1</sup>, 杨红龙<sup>5</sup>, 邱宗旭<sup>5</sup>, 黎志波<sup>6</sup>, 陶法<sup>7</sup>, 梁海河<sup>8</sup>, 张朝林<sup>1</sup>

<sup>1</sup>中国气象科学研究院 灾害天气科学与技术全国重点实验室 北京 100081

<sup>2</sup>南京大学 大气科学学院 南京 210023

<sup>3</sup>北京城市气象研究院 北京 100089

<sup>4</sup>中山大学 大气科学学院 珠海 519082

<sup>5</sup>深圳市国家气候观象台 深圳 518022

<sup>6</sup>江西省气象探测中心 南昌 330096

<sup>7</sup>中国气象局气象探测中心 北京 100081

<sup>8</sup>中国气象局气象发展与规划院 北京 100081

**提要:** 低空经济作为新质生产力代表, 其发展依赖于 G/W 等两类非管制空域内的飞行活动, 该空域主要对应大气边界层下层, 是湍流和风切变等航空危天气的高发区域。气象条件与通信、导航、监视系统共同构成低空经济高质量发展的关键基础支撑。然而, 该空域的高时空分辨率航危天气监测预警能力仍严重不足, 对实现高效、安全的低空飞行构成严峻挑战。为此, 本文系统梳理了低空经济气象科技领域的国内外研究进展, 剖析了边界层湍流相干结构、低空风切变、湍流与微下击暴流监测预警以及大涡模拟等关键科技领域所面临的核心挑战。进而, 从近中性边界层湍流新理论、湿边界层过程、面向低空航空器安全飞行的气象智能感知装备研发、人工智能赋能的低空航危天气预警、智能计算流体力学模型研发以及低空气象条件与无人机路径规划协同优化等角度, 对低空经济气象领域若干前沿科技问题进行了展望。旨在深化低空航危天气与低空飞行器相互作用机理的认知, 为提升低空航危天气的高精度智能感知与快速预警预报能力提供理论依据与技术路径, 从而为低空经济的安全与可持续发展提供关键气象科技支撑。

31

<sup>32</sup> 关键词：低空经济气象，大气边界层，风切变，湍流，微下击暴流，大涡模拟

33

## **34 Progress and Prospect of Research On the Key Frontier Scientific and**

## **35 Technological Issues in Low-Altitude Economy Meteorology**

36

37 Jianping Guo<sup>1</sup>, Wei Zhang<sup>1</sup>, Bowen Zhou<sup>2</sup>, Chao Yan<sup>3</sup>, Xuelin Zhang<sup>4</sup>, Yiping Sun<sup>1</sup>, Weilong  
38 Deng<sup>1</sup>, Tianmeng Chen<sup>1</sup>, Honglong Yang<sup>5</sup>, Zongxu Qiu<sup>5</sup>, Zhibo Li<sup>6</sup>, Fa Tao<sup>7</sup>, Haihe Liang<sup>8</sup>, Chaolin  
39 Zhang<sup>1</sup>

40

1 State Key Laboratory of Severe Weather Meteorological Science and Technology, Chinese Academy of Meteorological Sciences, Beijing 100081, China

42

2 School of Atmospheric Sciences, Nanjing University, Nanjing 210023, China

43

<sup>3</sup> Beijing Urban Meteorological Institute, Beijing 100089, China

44

College of Atmospheric Sciences Sun Yat-sen University Zhuhai 519082

15

Shenzhen National Climate Observatory, Meteorological Bureau of Shenzhen Municipality

16

Shenzhen 518040, China

47

6 Jiangxi Meteorological Observation Center, Nanchang 330006, China

-7-

<sup>7</sup>CMA Meteorological Observation Center, Nanjing 210003, China

40

2 CMA Meteorological Observation Center, Beijing 100081, China  
1 Chinese Academy of Meteorological Sciences, Beijing 100081, China

49

**Abstract :** As an emerging form of new quality productive forces, the development of low-altitude economy relies heavily on flight operations within non-controlled airspace categories, such as Class G and Class W. This airspace predominantly resides in the lower atmospheric boundary layer, a region highly prone to aviation hazardous weather phenomena like turbulence and wind shear. Meteorological conditions, together with Communication, Navigation, and Surveillance (CNS) systems, constitute the critical foundational support for the high-quality development of the low-altitude economy. However, there remains a severe deficiency in the high spatiotemporal resolution monitoring and early warning capabilities for aviation hazardous weather within this airspace, posing significant challenges to achieving efficient and safe low-altitude flight operations. To address this, this paper systematically reviews domestic and international research progress in low-altitude economy meteorology and analyzes the key core challenges currently faced in key scientific and technological domains, including coherent structures in boundary layer turbulence, low-altitude wind shear, monitoring and early warning for turbulence and microbursts, and Large Eddy Simulation (LES). Furthermore, the paper explores several frontier scientific and technological issues in low-altitude meteorology. Key perspectives include: new theoretical frameworks for near-neutral boundary layer turbulence; moist boundary layer processes; the development of intelligent meteorological sensing equipment for low-altitude aircraft safety; artificial intelligence (AI)-powered early warning for low-altitude aviation hazardous weather; the development of intelligent Computational Fluid Dynamics (CFD) models; and the synergistic optimization of low-altitude meteorological prediction and unmanned aerial vehicle (UAV) path planning. This study aims to deepen the understanding of the underlying mechanisms governing the

72 interaction between low-altitude aviation hazardous weather and aircraft. It seeks to provide  
73 theoretical foundations and technical pathways for enhancing high-precision intelligent sensing, as  
74 well as rapid early warning and forecasting capabilities for low-altitude aviation hazardous weather.  
75 Ultimately, this work endeavors to deliver crucial meteorological science and technology support  
76 for the safety and sustainable development of the low-altitude economy.

77

78 **Keywords:** Low-altitude economy meteorology, Atmospheric boundary layer, Wind shear,  
79 Turbulence, Microburst, Large-eddy simulation

80

81

## 82 引言

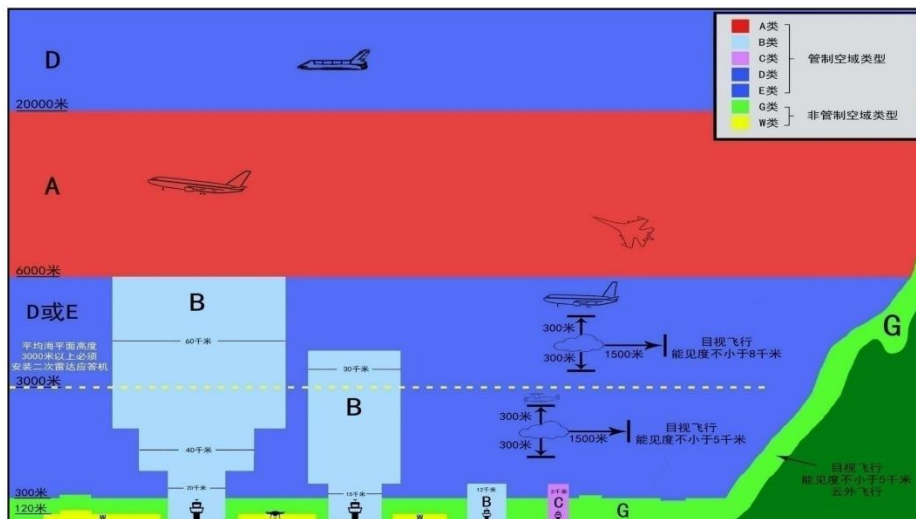
83 在全球新一轮科技革命与产业变革加速演进的时代背景下,低空经济以巨大的  
84 发展潜力和广泛的赋能效应,正迅速崛起为新质生产力的重要代表,并日益成为  
85 驱动未来经济增长的新赛道与新引擎。低空经济指的是依托于垂直高度 1000  
86 米以下(根据实际需要可延伸至不超过 3000 米)的低空空域,以各种有人驾驶  
87 和无人驾驶航空器的低空飞行活动为牵引,辐射带动相关领域融合发展而形成的  
88 综合性经济形态。根据中央空管委员于 2023 年 12 月发布的《国家空域基础分类  
89 方法》,低空经济所依赖的飞行活动主要发生是在 G 类(真高 120-300 米)和  
90 W 类(真高 120 米以下)等两个非管制空域范围(见图 1)。低空飞行安全是低  
91 空经济高质量发展的生命线,要做到“飞得起,管得住,发展好”,离不开气象  
92 —通信—导航—监视一体化发展的低空基础设施支撑(图 2)。其中,高时空分  
93 辨率(米级+秒级)气象条件是影响低空飞行安全的重要因素,也是低空航空器  
94 适飞空域和时域资源开发利用的重要依据。然而,全球变化背景下,强降水、雷  
95 暴大风、微下击暴流、台风等极端天气事件呈频发、多发和重发态势。上述极端  
96 天气背景下发生在低空空域内的湍流、风切变等影响飞行安全的航空危险天气监  
97 测预警能力仍严重不足,对低空经济高质量发展构成严峻挑战,

98 低空经济气象是针对交通物流、农林植保、工业巡检、治安防控、应急救援、  
99 文旅融合、生态环保、智慧交通等低空气象敏感行业趋利避害的需求,开展低空  
100 气象基础前沿理论、航空器与低空气象条件相互作用、低空航危天气监测预报预  
101 警等研究,以服务保障低空经济高质量发展的新兴交叉学科(中国气象局,2024)。  
102 其研究的主要空域涵盖了行星边界层(PBL)以及部分自由大气层。PBL 以湍流  
103 运动为主要特征,是地气之间物质、能量和水汽等交换的重要场所,可显著影响  
104 云降水,同时也易受云雨反馈作用。尤其是当 PBL 过程与云雾物理过程发生相  
105 互作用,即湍流一对流过程相互交织时,会进一步加剧低空风切变和强湍流发生  
106 概率,严重威胁飞行安全。

107 近年来,低空航空器坠毁、颠簸、偏航等典型案例频发,其安全飞行亟需现  
108 代化的低空气象保障。据美国国家运输安全委员会(NTSB)统计,欧美发达国家  
109 近 30% 的低空飞行事故由低空风切变和湍流等气象因素引发(Gultepe et al.,  
110 2019)。G/W 空域面临湍流、风切变、微下击暴流等航危天气挑战,其与边界  
111 层关键动力过程(如湍流对流相互作用、复杂下垫面强迫)耦合机制尚不明确;  
112 此外,低空航空器与风切变和湍流存在复杂的相关性。而现有气象站仅能给出

113 10米高度的风场信息，风廓线雷达在G空域存在观测盲区，多普勒测风激光雷  
114 达无法给出清洁大气和云雨条件下的低空风场（郭建平等，2021）。同时，现有  
115 业务数值模式无法给出G/W空域内高分辨率的气象条件精准预报。

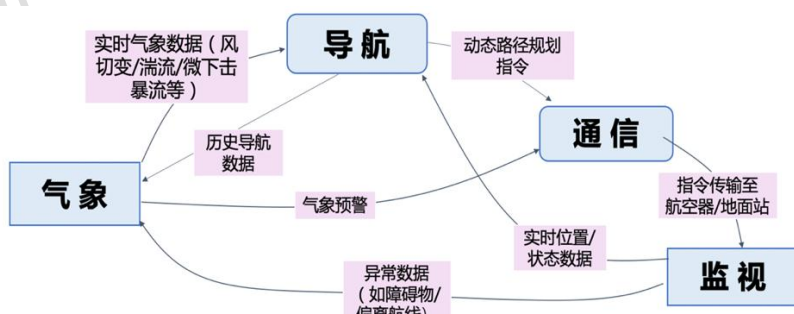
116 为推动低空经济的高质量发展，亟需对低空经济气这一新兴交叉学科的发展  
117 现状进行系统评述，重点围绕大气边界层湍流相干结构理论、低空航危天气（风  
118 切变/湍流/微下击暴流）监测预警技术、以及高分辨率数值模拟方法，如大涡模  
119 拟（Large Eddy Simulation, LES）和计算流体力学（Computational fluid  
120 dynamic, CFD）等的应用进展等关键领域的研究进展，剖析当前领域的痛点，并  
121 展望若干前沿科学问题，旨在为低空经济气象的理论创新与技术突破提供新思路。



123 图 1 国家空域基础分类示意图 (中国民用航空局 , 2023 )

124 Fig. 1 Schematic diagram of national airspace basic classification (cited from Civil  
125 Aviation Administration of China, 2023)

126



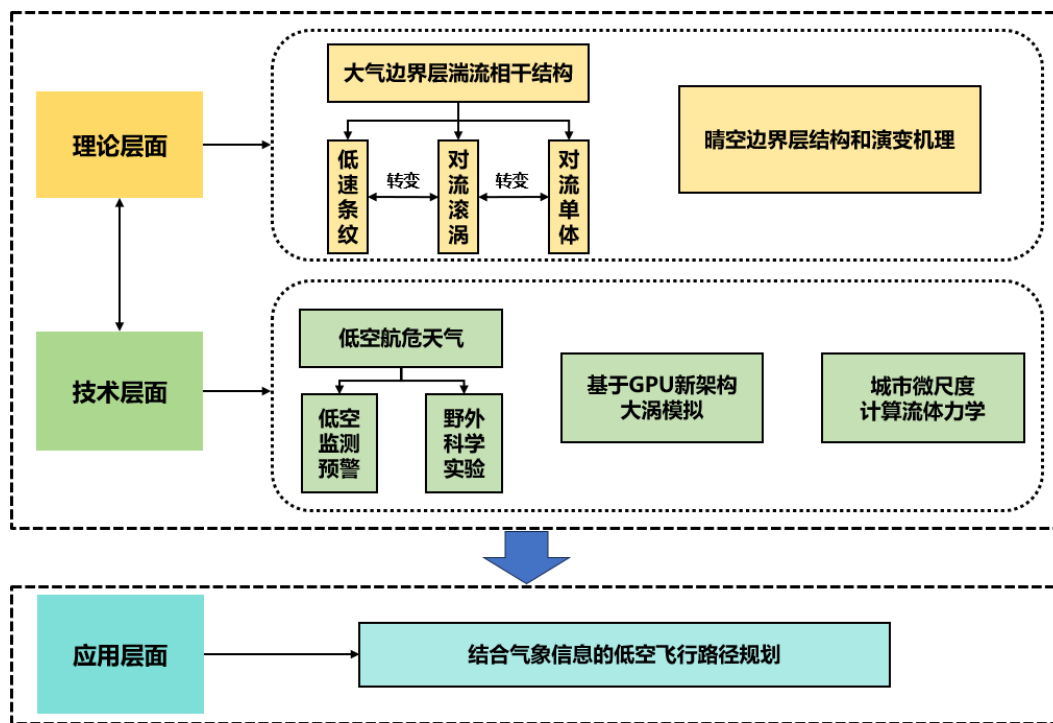
127

128 图 2 影响低空飞行安全的气象-通信-导航-监视一体化发展框架示意图

129 Fig. 2 Schematic diagram of the integrated development framework for  
130 meteorology-communication-navigation-surveillance affecting low-altitude flight  
131 safety

## 132 1 低空经济气象研究主要进展

133 低空经济气象科技包括边界层气象理论体系的构建、低空航危天气监测预警  
134 技术方法创新以及依托二者融合所形成的应用，当前已取得了显著进展，具体框架见图 3。在理论和机理方面，主要体现在对大气边界层湍流相干结构及其  
135 转变机制的深入揭示，以及对晴空边界层结构与演变机理的详细阐明。在技术层  
136 面，重点突破包括针对低空航危天气（如风切变、湍流和微下击暴流等）的低空  
137 监测预警技术及其支撑性野外科学实验，以及基于 GPU 新架构的高精度大涡模拟  
138 及城市微尺度计算流体力学方法。在应用层面，研究致力于结合精细化气象信息  
139 实现低空飞行路径的智能规划与优化。下面将围绕上述三个层面，系统梳理低空  
140 经济气象研究的主要进展。  
141



142  
143 图 3 低空经济气象研究进展理论、技术与应用框架

144 Fig. 3 Theoretical and technological and application framework for meteorological  
145 research progress in low-altitude economy

### 146 1.1 大气边界层湍流相干结构

147 行星边界层 (PBL) 中的湍流相干结构是浮力和风切变之间复杂平衡的结果，  
148 这一关系在早期研究中已被广泛探讨 (LeMone, 1973; Weckwerth et al., 1997;  
149 Moeng and Sullivan, 1994)。二者的相对大小决定了边界层的整体稳定状态，进

150 而影响边界层湍流相干结构。在水平均匀的定常边界层中，湍流相干结构特征与  
151 边界层高度 $z_i$ 和奥布霍夫长度（Obukhov Length, L）的比值 $-z_i/L$ 密切相关，其中  
152 L是浮力湍流产生首次超过剪切湍流产生的地面以上距离，而 $-z_i/L$ 则定量描述边  
153 界层全局不稳定的参数。

154 典型的日间边界层通常处于不稳定状态，此时 $L < 0$ ，导致 $-z_i/L > 0$ 。随着 $-z_i/L$   
155 的增加，浮力的主导作用逐渐增强。当 $-z_i/L$ 趋近于无穷大时（“自由对流”极限），  
156 边界层湍流完全由浮力主导；而当 $-z_i/L$ 趋近于0时（“中性”极限），平均剪切  
157 成为湍流产生的唯一来源（Panofsky, 1974; Kaimal et al., 1976; Wilczak and  
158 Tillman, 1980）。中性边界层通常由逆温层上方自由大气的中尺度水平风驱动，  
159 地表附近平均剪切引起的雷诺应力扭曲，形成沿平均速度方向取向的低速  
160 “条纹”（Rogers and Moin, 1987; Lee et al., 1990; Robinson, 1991）。在日间对流边  
161 界层中，当地表热通量较弱而平均风切变较强时，湍流倾向于组织成水平滚涡的  
162 准二维结构（Young et al., 2002），其风向通常与北半球的地转风向相差10-20°  
163 （LeMone, 1973）；相反，当地表热通量强烈且平均风切变较小时，则会形成开  
164 放的对流单体（Agee et al., 1973），其形态与实验室条件下观测到的瑞利-贝纳  
165 德对流高度相似。

166 PBL中湍流相干结构的存在已被大量观测和数值模拟研究所证实。Deardorff  
167 (1972)首次使用大涡模拟研究了对流滚涡和单体结构，模拟了不同 $-z_i/L$ 值的  
168 对流边界层（Convective Boundary Layer, CBL），并观察到对流滚涡的存在。  
169 Schmidt and Schumann (1989)进一步利用LES详细探索了无剪切CBL中的胞  
170 状对流结构，揭示了热羽流在CBL下部以胞状模式组织、合并和生长的过程。  
171 Khanna and Brasseur (1998)研究了浮力和剪切产生的湍流动能（Turbulence  
172 Kinetic Energy, TKE）如何共同促进CBL的组织，并通过LES模拟了不同 $-z_i/L$   
173 值的CBL，发现水平滚涡在 $-z_i/L = 0.44, 3$ 和8时普遍存在。Hastings (2009)  
174 利用国际H2O项目（IHOP）的观测数据发现，在 $-z_i/L = 13$ 和27时，对流滚涡  
175 和单体结构共存。Park and Baik (2014)在对城市表面粗糙度的LES研究中发现，  
176 在 $-z_i/L = 14.1$ 的CBL中存在滚涡和单体之间的过渡结构。根据观测结果，  
177 Weckwerth等(1999)提出从滚涡结构到单体结构的转变发生在临界值 $-z_i/L \approx 25$   
178 附近。然而，Grossman (1982)提出的分类中，从滚涡结构和单体结构到仅单体  
179 结构转变被发生在 $-z_i/L \approx 21$ 左右，Hastings (2009)从观测数据中发现了滚涡和  
180 单体共存的时间，并且观测(Brümmer, 1999)和数值模拟(Park and Baik, 2014)  
181 均报告了滚涡和单体之间的过渡结构，这表明转变可能在 $-z_i/L$ 范围内逐渐发生。

182 尽管已有研究对湍流相干结构的转变机制进行了探讨，但其物理过程仍需进  
183 一步研究。Salesky等(2017)首次对滚涡向单体结构的转变进行了系统的大涡  
184 模拟，分析了从中性( $-z_i/L = 0$ )到强对流边界层( $-z_i/L = 1041$ )的14个LES  
185 案例。类似地，Jayaraman and Brasseur(2021)在较小的稳定性范围( $-z_i/L = 0\sim 10$ )  
186 内对低速条纹与对流滚涡及其转变性质进行了详细的LES研究，但仍未涉及实  
187 际PBL的几何结构。随着技术的进步，对流滚涡和涡旋的现场观测也取得了进  
188 展，如地面摄影、机载图像和卫星遥感(Christian and Wakimoto, 1989; Kuettner,  
189 1959; Young et al., 2002)。Aksamit等(2024)提出了一种基于拉格朗日相干结

190 构的新方法，通过明确识别单个相干流体结构的边界并量化其在动量和热量传输  
191 中的作用，为大气通量的客观量化和涡流分类提供了新途径。然而，目前的研究  
192 主要基于平衡边界层条件，因为这一条件下的湍流结构仅取决于 $-z_i/L$ ，便于研究。  
193 对于实际边界层的复杂条件（如晨昏时分的非定常态、斜压效应、非均匀下垫面、  
194 锋面过境以及地形效应等），研究仍显不足。尽管 Aksamit 等（2024）利用现代  
195 仪器确定了湍流结构，但未来仍需开展更多研究，以深入理解湍流相干结构在非  
196 平衡条件下的演变及其对边界层动力学和传输过程的影响（赵昭和周博  
197 闻，2021）。

## 198 1.2 晴空边界层结构和演变机理

199 晴空边界层通常指无云或少云条件下的 PBL，其研究在气象学、环境科学、  
200 低空经济等领域具有重要意义。在早期研究中，行星边界层高度（PBL Height,  
201 PBLH）主要依赖于高精度的无线电探空（张强和胡隐樵，2001；张强，2003；  
202 张宏昇等，2020）。例如 Guo 等（2016）和 Guo 等（2024）分别利用中国和全  
203 球高分辨率无线电探空数据，首次得到了中国和全球首个基于观测的 PBLH 气候  
204 学特征。然而，无线电探空气球每日仅在北京时间 08 时和 20 时施放两次（徐丽  
205 丽等，2020），不仅无法捕捉到 PBLH 的最大值，也难以提供全天候的边界层湍  
206 流观测。近年来，随着激光雷达、风廓线雷达等时间分辨率遥感技术的发展以及  
207 无人机机载气象观测技术的兴起，已有望实现全边界层湍流观测。Liu 等（2019）  
208 借助地基风廓线雷达观测，发展了一种新的基于归一化信噪比廓线的边界层高度  
209 反演算法，并给出了大空间尺度的分钟级边界层高度演变特征（Liu et al., 2020）。  
210 Della and Demoz（2025）已提出利用 S 波段气象雷达（WSR-88D）组网的差分  
211 反射率，构建自动检测 PBLH 估计值的新算法。通过与自动地面观测系统网络  
212 （Automated Surface Observation System, ASOS）协同作业，这一方法有望迅速  
213 产出经过验证的 PBLH 估计值数据集，为深入了解边界层的物理过程提供了新方  
214 向。

215 湍流运动是晴空边界层的核心特征，早期研究主要基于理论分析和简化的数  
216 值模型，其湍流表征的精度有限。近年来，LES 技术的广泛应用使得对边界层湍  
217 流的研究更加深入和精准（Xu et al., 2024）。LES 可再现昼夜循环期间大气流动  
218 的演变，并定量解析风切变、湍流强度及湍流动能等关键动力参数（Song et  
219 al., 2020）。此外，晴空边界层与空气污染的耦合机制也是近年来的研究热点之  
220 一（刘树华等，2020；王安庭等，2021），对低空飞行安全及运行效率等具有显  
221 著影响。PBLH 的变化直接影响污染物的扩散和积累，较低的 PBLH 会导致污染  
222 物在近地面层积聚，从而降低能见度，增加低空航空器的碰撞风险，同时也会影  
223 响其性能及使用寿命。因此，PBLH 与地表污染物之间的关系也被大量关注，如  
224 Su 等（2018）研究了中国 PBLH 与地表污染颗粒物浓度之间的关系。气溶胶作  
225 为空气污染的重要组成部分，与 PBL 间的相互作用也获得系统阐述  
226 （何成等，2022；Nair et al., 2023）。

## 227 1.3 低空湍流监测预警

228 低空航行的安全保障还离不开对湍流的监测预警。依据成因及特性，湍流主  
229 要分为晴空湍流（Clear-air Turbulence, CAT）和对流性湍流（Convection-induced

230 Turbulence, CIT）。早期湍流监测主要依赖飞行员口头报告（Pilot Reports,  
231 PIREPS），其虽能直观反映湍流对飞机的影响，但存在主观性强且存在时空位  
232 移误差（Schwartz, 1996）。随着技术发展，商用飞机的自动化湍流监测系统和  
233 机载雷达逐渐得到广泛应用，为湍流监测提供了更客观、连续的数据源（Cornman  
234 et al,1995, 2004; Cornman, 2016）。地面监测方面，雷达如多普勒雷达（Yue et  
235 al,2010）、激光雷达（Oude Nijhuis et al, 2018）、双极性雷达（Ma et al, 2021）、  
236 相干多普勒测风激光雷达（Xian et al,2024; 2025）已成为识别湍流的标准化技术  
237 手段。

238 传统 CAT 识别算法多基于模糊逻辑（Abernethy, 2008），通过集成多源湍  
239 流诊断方法生成预报产品如 NCAR 开发的图形湍流引导（GTG）系统（Sharman  
240 et al,2006）。随着人工智能算法的出现和发展，随机森林等更为先进有效的算法  
241 也被应用于识别 CAT（Abernethy et al,2008; Williams, 2013）。近年来，基于贝  
242 叶斯算法的 X 波段双极性雷达 CAT 识别技术实现突破，，在北京地区实现了  
243 CAT 的识别与雷达数据质量改善（Ma et al,2021）。相较于 CAT, CIT 对低空航  
244 空的威胁更为显著，其引发的航空事故占比达 60%（Cornman and Carmichael,  
245 1993）。这类湍流的生成机制与重力波破碎、开尔文-亥姆霍兹不稳定性等复杂  
246 过程密切相关，其中雷暴外流边界引发的动力扰动可在下风向 200 km 处诱发强  
247 湍流（Kim et al,2021）。自 20 世纪中叶起，国外首先使用地基雷达开展识别 CIT  
248 的研究。Press and Binckley (1948) 首次发现地基雷波回波之外存在“中间区”，  
249 该区域的湍流强度介于雷达回波区与周围环境之间。随着多普勒雷达的引入，  
250 Doviak and Lee (1985) 发现，当飞机距离雷达分辨率体积在 1 公里内时，地基  
251 雷达的谱宽度和飞机现场湍流速度测量值之间存在一致性，并且在“中度”或“严  
252 重”湍流区域内，谱宽超过 5 m/s。然而，如果雷达反射率较弱或事件距离雷达超  
253 过 60 公里，则谱宽计算可能不准确（Brewster, 1984），并且地基雷达上传到  
254 飞机上还需要一定的时间。

255 因此，具有预测风切变能力的机载雷达成为重点研究对象。美国在 2000-2001  
256 年开展了湍流监测预警飞机试验，发现 53 次 CIT 事件的回波强度小于 40 dBz，  
257 且湍流强度与雷达反射率因子呈弱相关性，甚至在 0 dBZ 区域也存在强湍流，致  
258 使飞行员常将强湍流误报为 CAT 而非 CIT（Hamilton et al,2012）。鉴于此，自  
259 动化湍流报告系统开发受到资助。近年来，商用飞机自动湍流报告与重合雷达数  
260 据中的湍流数据显著增加，对近风暴湍流观测的全面分析对航空具有重大潜在价  
261 值。Hitchcock 等（2025）通过比较美国九年内暴风雨导致的湍流事件报告，得  
262 出雷暴附近湍流空间分布特征。美国联邦航空管理局（Federal Aviation  
263 Administration, FAA）发布的湍流预警指南指出：距离雷达回波 32 公里外也存  
264 在强湍流，甚至在 100 公里左右位置亦有强湍流出现。

265 近期，机器学习在湍流预警方面取得了显著进展，基于人工智能的湍流预警  
266 性能显著优于传统上耗时耗算力的数值天气预报（Numerical Weather Prediction,  
267 NWP）方法，例如，Muñoz-Esparza 等（2020）使用梯度提升回归树（GBRT）  
268 每 1 小时生成一次全球湍流预报产品；Shao 等（2024）构建了可每小时更新的  
269 随机森林模型。值得注意的是，基于扩散的深度学习在湍流产生预测方面也取得  
270 了进展，有望成为湍流长期预测的有效方法（Patil et al,2024）。

尽管相关研究丰富了湍流监测预警体系，但当前仍面临原位观测数据匮乏的问题。一方面，基于质量欠佳的旧观测数据难以获取精准结论；另一方面，原位观测技术若取得实质性突破，将为低空航行的实时监测与短临预警带来质的飞跃，这将是未来湍流监测预警研究的重要方向。

275

#### 276 1.4 微下击暴流监测预警

277 微下击暴流是影响低空航行安全的另一个关键气象因子，其研究始于 20 世  
278 纪 60 年代商用飞机的一系列不明原因的坠机事件。当时美国国家运输安全委员  
279 会 (NTSB) 对多起事故的调查虽未能明确结论，但均指出危险天气的重要影响。  
280 这一现象引起了芝加哥大学 Fujita 教授的高度关注，他创新性地提出，这些事故  
281 可能由当时科学界尚未认知的雷暴风切变所致。通过对 1975 年东方航空事故的  
282 深入分析，Fujita 首次提出“下击暴流”概念，并将其中直径小于 4 公里的现象定  
283 义为“微下击暴流” (Fujita, 1976; Wilson and Wakimoto, 2001)。为验证这一开创  
284 性理论，美国于 1978 年实施了“伊利诺伊州北部气象研究” (NIMROD)。Fujita  
285 利用多普勒雷达首次直接观测到下击暴流的存在。鉴于下击暴流的低空特性 (垂  
286 直尺度通常小于 1 公里 < 1 公里)，1982 年又启动了“联合机场天气研究” (JAWS)  
287 项目 (McCarthy et al, 1982)。该项目不仅证实了微下击暴流在高平原气候区的  
288 频发，更揭示了其对航空安全构成致命威胁的核心机制：空速突变导致的升力丧  
289 失。研究同时确立了多普勒雷达和风速计网络的监测可行性，并基于观测到的的  
290 微下击暴流特征，明确指出需要开发快速更新的自动预警系统 (McCarthy and  
291 Willson, 1984)。这项实验催生了一系列关于微下击暴流的结构、演变和形成机  
292 理的重要研究 (例如，McCarthy and Wilson, 1984; Fujita, 1985; Srivastava, 1985;  
293 Wilson, 1986; Mahoney and Rodi 1987; Kessinger et al, 1988; Hjelmfelt, 1988)。

294 当下一代天气雷达 (NEXRAD) 计划于 1979 年启动时 (Crum and Alberty,  
295 1993)，FAA 同步启动了使用 NEXRAD 提高航空安全和效率的研究 (Laird and  
296 Evans, 1982)。1984 年“分类、定位、避免风切变” (CLAWS) 项目的成功  
297 实施，促使 FAA 将专注于使用脉冲多普勒天气雷达在美国主要机场进行微下击  
298 暴流的全自动化检测和警告。基于此，1985 年正式启动了终端多普勒天气雷达  
299 (TDWR) 采购计划。其原型机先后在多个机场进行测试，系统收集不同气候条  
300 件下的微下击暴流事件的多普勒数据集，为初始自动化、基于人工智能的微下击  
301 暴流识别算法开发提供了关键支撑。1988 年，FAA 在丹佛斯台普顿国际机场进  
302 行了正式的 TDWR 操作演示，首次实现了微下击暴流的全自动检测和实时警告  
303 (Schlickemaier, 1989)。然而，在 TDWR 原型机转移至下击暴流频发的奥兰多  
304 国际机场后，FAA 发现在微下击暴流高峰期迫切需要改进空中交通管理支持。  
305 由于奥兰多检测到微下击暴流，抵达的飞机经常会进入等待模式，影响更广泛的  
306 区域运营，并给交通管理带来重大问题，因此，亟需预测微下击暴流的能力，以  
307 便空中交通管制塔对终端交通流进行主动调整。早期基于 TDWR 降水产品的预  
308 测算法 (Chornoboy et al., 1994) 存在明显局限。微下击暴流的热力学研究  
309 (Roberts and Wilson, 1989; Wolfson, 1990) 表明，可靠的预测需要融合热力学参  
310 数与脉冲多普勒雷达数据，加上对多传感器输入的其他需求，推动 TDWR 原型  
311 转换为“综合终端天气系统” (ITWS) 原型 (Evans and Ducot, 1994)。ITWS  
312 创新性地整合了飞机报告、地面观测和数值预报模型的数据，实现了温湿廓线的

313 实时自动生成,结合下降中的风暴核心雷达反射率可预测地面外流强度(Wolfson  
314 et al,1994)。

315 2000-2010 年间, TDWR 完成全美机场部署的同时, 其信号处理的研究仍在  
316 继续, 旨在抑制地杂波、避免远距离雷暴的影响和解决多普勒速度模糊问题(Cho,  
317 2005; Cho and Chornoboy, 2005)。激光雷达技术的突破实现了“干型”微下击暴  
318 流的有效监测(Hannon, 2004; Keohan et al,2006)。后续开展的“风和港口”  
319 (WP)、“雷暴严重对流外流”(SCOT)、“风-港口-海洋”(MPS)及 ERC  
320 THUNDRER 等多个大型观测项目(Solari et al,2012; Gunter and Schroeder, 2015;  
321 Reptto et al,2017; Solari, 2020), 进一步扩展了微下击暴流数据库。然而, TDWR  
322 与激光雷达的协同应用仍面临成本高昂(Kim and Matsui, 2017), 数据分辨率  
323 不足等技术瓶颈, 制约了精细化预警能力的提升。

324

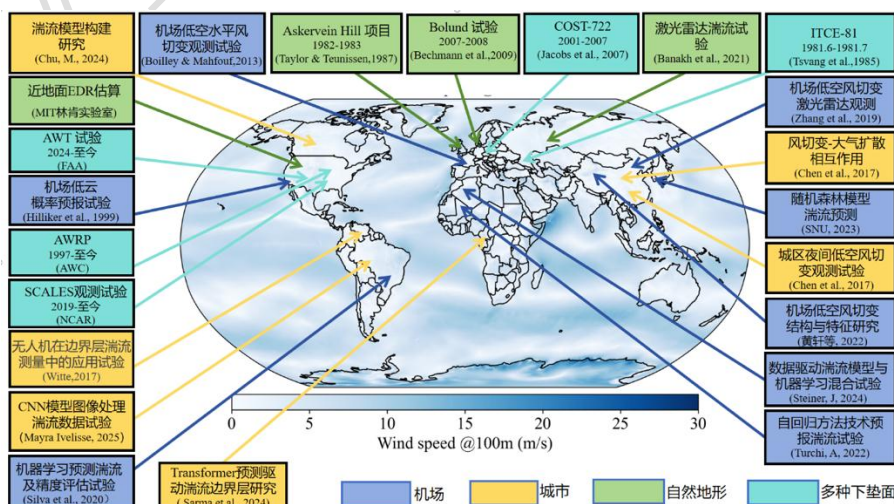
### 325 1.5 低空航危天气野外科学试验研究进展

326 低空风切变、湍流和低空急流是航危天气野外科学试验的关注重点, 这是因  
327 为低空风切变是航空安全的重要威胁之一, 其形成机制复杂且与大气边界层过程  
328 密切相关。近年来, 依托多源观测手段对低空风切变进行研究取得了显著进展(图  
329 4)。早在上世纪 80 年代, Wilson et al. (1984) 通过多普勒雷达研究微下击暴流  
330 的风场结构, 评估其在机场风切变探测中的应用效果。Boilley and Mahfouf(2013)  
331 在法国蔚蓝海岸国际机场开展了低空水平风切变观测试验, 通过部署 4 个风速计、  
332 1 台风廓线仪和 1 台测风激光雷达, 于 2009 年捕捉到两次风切变事件, 并分析  
333 了导致风切变的气象成因。国内学者在北京地区的研究颇具代表性。Chen et al.  
334 (2017a,2017b) 结合测风激光雷达和 325 米气象塔数据, 揭示了夜间风切变与  
335 颗粒物分布的关联, 发现南北城区风向切变存在 1.5 小时滞后, 并建立了 PM<sub>1</sub>  
336 浓度与激光雷达载噪比的定量关系。Zhang et al. (2019) 提出基于 1550 nm 激光  
337 雷达的分步扫描策略, 开发了风切变快速识别算法, 有效提升了机场低空风场的  
338 实时监测能力。黄轩等(2022)针对高原机场, 利用激光雷达和风廓线数据, 分  
339 析了顺风切变线和逆风切变线的垂直结构特征, 厘清了风速传播与风向突变的动  
340 力学联系。刘晓英等(2020)在北京首都国际机场识别出干性雷暴和地形诱导两  
341 类风切变, 阐明了风速骤增和风向突变的相互作用机制。梁志等(2024)基于测  
342 风塔和激光雷达建立了风速切变、风向切变与大气稳定度的关系模型, 揭示了大  
343 气稳定度对风切变的影响。

344 湍流是直接威胁低空航空飞行安全的另一重要因素。美国波音公司利用机载  
345 观测数据构建了大气状态数据集, 并结合深度学习优化湍流预测模型, 为航线优  
346 化和气候研究提供了重要数据支撑。MIT 林肯实验室基于 O'Connor et al.(2010)  
347 提出的方法, 建立了机场低空 EDR 气候学分布, 同时评估了弱湍流条件下的计  
348 算可靠性。NCAR 的 SCALES 试验结合无人机观测、移动探空和激光雷达数据,  
349 验证了基于 GPU 的 FastEddy 大涡模式的精度, 为城市边界层湍流研究提供了新  
350 方法。俄克拉荷马大学基于自动湍流报告的分析表明, 雷暴附近 2 km 高度内的  
351 湍流风险显著增加。UCAR 团队利用非线性湍流检测算法(NTDA)解析了对流  
352 云内的湍流强度分布, 为航空气象预警提供了理论依据。

除上述威胁外，低空急流（Low-Level Jet，简称 LLJ）常诱发强烈的低空风切变和晴空湍流(Abernethy, 2008)，或通过与重力波相互作用产生间歇式湍流(Hallgren et al., 2024)。特别是在城市低空环境中，LLJ 流经建筑物时产生的绕流尾涡，对低空飞行安全构成显著威胁。针对 LLJ 的野外科学实验研究揭示了其显著的时空变化特征。在美国，Bonner (1968) 基于 47 个测风站数据，指出 LLJ 主要发生在南风背景下，且早晨出现频率较高。Whiteman et al. (1997) 利用俄克拉荷马州两年的探空观测，建立了大平原 LLJ 的气候学特征，量化了暖季(47%)与冷季(45%) LLJ 发生率的差异。Song 等 (2005) 则利用微型声雷达和 915-MHz 风廓线仪，对堪萨斯州行星边界层(PBL)实验设施的夜间 LLJ 进行观测，发现夜间 LLJ 发生更为频繁。在中国，针对特定区域的野外实验取得重要进展。Du et al. (2012) 利用上海的风廓线雷达数据，建立了梅雨期与非梅雨期 LLJ 气候学，揭示其峰值多出现在夜间和清晨。Wang et al. (2013) 和 Wei et al. (2014) 利用中国东部沿海的多个风廓线雷达，系统研究了 LLJ 的日变化和季节结构，明确了其主导风向随季节的转变(春夏季为西南偏南风，秋冬季为东北风)。数值模拟和再分析资料也为不同区域的 LLJ 研究提供了独特的见解(Zhang et al., 2018; Kong et al., 2020; Lima et al., 2018; Ferguson et al., 2022)。值得注意的是，已有研究利用传统机器学习模型对中国沿海地区 LLJ 进行空间预测，初步展现了 AI 模型在该领域的应用潜力(Ding et al., 2025)。

无人机因其灵活性和低成本，成为低空航危天气监测的新兴手段。早期研究聚焦城市风场对无人机飞行的影响。Cybyk et al. (2009) 分析了不稳定气流对小型无人机的干扰，Galway et al. (2011) 建立了城市风场模型，McGrath et al. (2012) 则深入研究了环境与飞行器的相互作用机制。Bottyán et al. (2015, 2016) 开发了基于 WRF 的无人机专用天气预报系统，提升了机场周边气象服务的精细化水平。Kim (2015) 构建了风湍流预警系统，优化了自动化空中交通管理。近年来，无人机在边界层观测中发挥重要作用。Brosy et al. (2017) 利用多旋翼无人机测量边界层物质交换，Witte (2017) 研制了专用湍流探测无人机，实现了高精度数据采集。Cole (2018) 提出的多机编队控制技术，进一步提升了无人机在复杂气象条件下的协同作业能力。



381

382 图 4 全球围绕低空航危天气监测预警预报开展的野外科学试验空间分布图

383 Fig. 4 Spatial distribution of global field scientific experiments on monitoring,  
384 forecasting, and early warning of hazardous weather for low-altitude flights

385 1.6 大涡模拟研究进展

386 大涡模拟 (Large-eddy simulation, LES) 作为一种高精度的湍流模拟方法，  
387 自 20 世纪 60 年代末由美国国家大气研究中心 (NCAR) 的 Douglas Lilly 首次提  
388 出以来，已成为 PBL 湍流研究的重要工具。与传统的数值天气预报 (NWP) 模  
389 式和大气环流模式 (General Circulation Models, GCMs) 相似，其核心框架基于  
390 网格化求解相关动热力变量的预报方程，并通过参数化方法表征亚网格尺度效应。  
391 然而，LES 通常采用更精细的网格，实现了对三维时空含能湍流场的直接解析：  
392 在有效捕捉主导湍流动能传输的大尺度涡旋同时，通过湍流闭合方案处理次网格  
393 尺度涡旋，显著提升了边界层物理过程的模拟精度。

394 随着计算机技术的发展，LES 的应用场景已从理想化均匀边界层拓展至复杂  
395 真实大气环境。早期模型采用水平周期性边界条件（与水平均匀性假设一致）模  
396 拟湍流的流入和流出，随后逐步融合辐射传输、水汽相变、云物理过程、地表通  
397 量及城市冠层效应等多物理过程。Deardorff (1974) 率先实现辐射过程的耦合建  
398 模，而 Sommeria (1976) 则开创性地引入了中尺度云物理、水平平流和下沉的  
399 影响。受限于早期计算资源，Mason and Derbyshire (1990) 历时十多年才完成  
400 稳定边界层的首例 LES 成功模拟。值得关注的是，近年来 LES 还被应用于研究  
401 城市冠层内的湍流结构的研究，通过引入浸入边界法 (Immersed Boundary Method,  
402 IBM) 实现对建筑物的显式分辨，为城市低空气象预报提供了技术支撑 (Dupont  
403 and Patton, 2012; Patton et al., 2016)。

404 亚网格尺度 (Subgrid-Scale, SGS) 模型的构建始终是 LES 的核心挑战。经  
405 典 Smagorinsky-Lilly 模型假设 SGS 通量与动量 KM 和热量 KH 的涡交换系数成  
406 比例，其中 KM 是应变速率张量、网格间距和 Smagorinsky 系数的函数 (Deardorff,  
407 1972; Smagorinsky, 1963; Lilly, 1966)。Deardorff (1980) 提出的 TKE 方案则  
408 突破性地纳入压力波动、湍流输运以及浮力、剪切和耗散的影响。SGS 模型通常  
409 要求网格位于惯性子层内以实现湍流各向同性假设，此类条件尤其适用于精细分  
410 辨率场景 (如 Sullivan et al., 1994)。其理论局限性在于确定性假设与湍流统计本  
411 质的矛盾：传统 SGS 模型仅考虑能量正向级串，而实际存在能量反向散射现象。  
412 Mason and Thomson (1992) 基于 Leith (1990) 随机理论框架，首次在 Smagorinsky  
413 模型中引入反向散射参数化机制，经验性地改善了能量级串过程的物理表征。动  
414 态模型的发展进一步革新了 SGS 建模范式：通过多重滤波技术实时反演  
415 Smagorinsky 常数 (Meneveau et al., 1996; Porté-Agel et al., 2000; Bou-Zeid et  
416 al., 2005)，或采用动态重构方法克服前向散射约束 (Chow et al., 2005; Lu and  
417 Porté-Agel, 2010)。对比研究表明，动态模型在中性边界层 (Ludwig et al., 2009)  
418 和层积云顶边界层 (Shi et al., 2018) 等复杂场景中展现显著优势。

419 硬件技术的进步为 LES 发展注入了新动能。传统的 CPU 架构在处理高分辨  
420 率 LES 时计算成本极高，而基于 GPU 的并行计算技术显著提升了计算效率。例  
421 如，美国国家大气研究中心 (NCAR) 开发的 Fast Eddy 模式采用 CUDA 语言的  
422 GPU 架构，实现了比传统 CPU 模式 (如 WRF-LES (Xu et al., 2024)) 快百倍

423 以上的计算速度，同时能耗仅为 CPU 模式的十分之一(Sauer and Munoz-Esparza,  
424 Munoz-Esparza et al.,2020)。在美国能源部的支持下，劳伦斯利弗莫尔国  
425 家实验室（LLNL）也已推出 WRF 模式的 GPU 版本，即 Energy Research and  
426 Forecasting (ERF) 模式，旨在实现从中尺度到街区尺度的无缝隙预报。这些技  
427 术进步不仅降低了 LES 的计算成本，还为城市低空气象预报提供了可能性。

## 428 1.7 城市微尺度计算流体力学模拟的进展

429 城市微尺度计算流体力学是一种精细化模拟技术，主要用于模拟城市环境中  
430 空气流动、温度分布和其他气象参数的微小尺度变化。随着低空经济（如无人  
431 机配送和城市空中交通）的快速发展，对城市近地层高精度气象预测的需求日益  
432 迫切，尤其是在城市环境中，建筑物和街区峡谷可能导致复杂的风场和温度分布，  
433 而 CFD 模拟能够提供高分辨率的城市局部气象信息，为低空经济活动的安全和  
434 高效运行提供了关键支持。

435 传统气象预报模式通常以小时为更新间隔，在公里级分辨率下运行，难以满  
436 足低空运行的精细化需求，这与无人机在短距离、低空域下作业需分钟级响应的  
437 飞行需求不符。相比之下，城市微尺度 CFD 模拟的优势在于能够捕捉城市结构  
438 （如建筑物、街区峡谷和植被）对局部气象要素的复杂影响，其空间尺度通常在  
439 几米至几公里范围内。在低空经济领域，这种精细的微尺度气象信息对于确保无  
440 人机和城市空中交通工具的安全导航和高效作业至关重要，而传统气象预报的空  
441 间和时间分辨率往往难以满足此类需求。

442 CFD 模拟的准确性在很大程度上依赖于所采用的数值方法和湍流模型，目  
443 前城市气象研究中常用的 CFD 方法包括雷诺平均 (RANS) 方法和 LES 方法。  
444 RANS 方法通过求解气象要素的时间平均方程，显著降低了时空分辨率要求，因  
445 此在实际应用中得到了广泛采用 (Blocken, 2018)。Toparlar et al. (2017) 指出，  
446 高达 96% 的城市 CFD 研究采用了 RANS 方法。但 RANS 方法的主要缺点是依赖  
447 经验公式对所有尺度的湍流脉动建模，难以准确揭示湍流在动量、热量和物质  
448 交换中的物理机制，限制了其在微气象精细预报中的应用潜力 (Tominaga and  
449 Stathopoulos, 2011)。相较之下，LES 方法能够分辨大尺度湍流结构，精确捕  
450 捉瞬态流场特征，但其高昂的计算成本在一定程度上制约了其大规模实时应用。

451 此外，传统的城市微尺度 CFD 模拟多采用理想化的周期性边界条件，忽略了  
452 天气尺度气象系统的动态变化。而城市地表覆盖高度异质且不规则分布，导致  
453 大气边界层内湍流活动呈现出强烈的空间非均匀性。因此采用理想化的初始和边  
454 界条件难以准确反映真实城市边界层内的流动特征。在此背景下，将微尺度 CFD  
455 模式与中尺度大气模式进行耦合成为重要发展方向，通过引入中尺度模式提供的  
456 动态大气变量边界条件，CFD 方法可以精细化这些信息以反映城市环境的局地  
457 效应。这种耦合方法克服了传统固定边界条件的局限性，提高了模拟的真实性和  
458 应用价值 (Piroozmand et al., 2020; Yan et al., 2020)。

459 尽管微尺度 CFD 模拟在理论上为低空经济和城市气象服务提供了强有力的技术  
460 支撑，但其在实际应用中仍面临诸多挑战，城市环境的复杂性显著增加了模  
461 拟的计算成本。未来的研究方向应着重探索更高效的多尺度耦合框架和实时模拟

462 技术，并构建更广泛的验证数据集，以推动 CFD 模拟更有效地融入日常气象预  
463 报和低空经济运营体系中。

#### 464 1.8 结合气象信息的低空飞行路径规划进展

465 随着低空经济的快速发展，低空路径规划成为无人机物流配送和城市空中交  
466 通系统的核心环节，其目标是在复杂城市环境中为飞行器规划出安全、高效且能  
467 耗最优的飞行轨迹。这要求路径规划技术需综合考虑复杂的地形结构、动态障碍  
468 物避障、气象条件、能量约束等多重因素，以确保飞行器在多变环境下的飞行安  
469 全以及运行效率。

470 无人机路径规划可被视为移动机器人路径规划在三维低空空域的特定应用，  
471 旨在确定飞行器从起点到终点避开障碍物的可行路径，通常被建模为多目标优化  
472 问题，即兼顾飞行时间、能源消耗及安全性的最优解。在低空飞行系统中，路径  
473 规划通常分为飞行器的引导、导航和控制三个核心模块：引导模块作为全局路径  
474 规划层，基于空域与障碍物分布生成初始可行路径，核心功能是确保静态避障能力  
475 与空域合规性；导航模块则基于引导模块生成的路径，进一步求解飞行器的姿态、  
476 速度等状态，生成具体的飞行轨迹；控制模块则作为执行层，生成指令驱动飞行器  
477 精确跟随规划的轨迹，并在飞行过程中进行实时的偏差修正，也被称为轨迹  
478 跟踪。现有研究主要围绕静态或已知动态环境中的障碍规避问题展开，形成了  
479 多类方法体系：基于搜索的算法（如 Dijkstra）通过构建栅格化配置空间实现全  
480 局最优路径求解；基于随机采样的方法（如快速扩展随机树 RRT、概率路线图  
481 PRM）则通过状态空间随机采样迭代求解最优路径；启发式优化算法（如人工  
482 势场法 APF、蚁群算法 ACO、遗传算法 GA）通过模拟自然现象建立路径搜索  
483 规则迭代求解（Debnath et al.,2019; Liu et al.,2023）。此外，生成的全局路径往  
484 往仅满足避障的可行性，需进一步通过轨迹优化技术（如非线性模型预测控制  
485 NMPC）综合考虑动力学约束与多目标优化（如时间最短、能耗最低），进而实  
486 现从引导阶段到轨迹生成的优化（Chan et al.,2025; Lu et al.,2025; Zhou et  
487 al.,2019）。

488 随着无人机在山地巡检、城市物流等应用场景的规模化应用，建筑群与地形  
489 诱导的强风、湍流等对飞行安全的影响愈发显著，气象条件对无人机路径规划的  
490 影响逐渐成为研究热点。传统路径规划常忽略风速、风向等动态气象要素，导致  
491 复杂地形飞行存在功耗过多与轨迹偏移等风险。近年来，研究重点已逐渐侧重结合  
492 气象要素的路径规划方法：例如，在风场建模方面，通过 WRF-CFD 降尺度模  
493 拟技术提高城市风场预报的准确性，结合风场数据定义低空飞行中无人机可能遇  
494 到的飞行风险，评估航线的飞行安全性，并根据风险概率划分禁飞区（Chrit and  
495 Majdi, 2022; Giersch et al.,2022; Jiang et al.,2024）。在路径规划方面，通过结合  
496 城市风场的 CFD 模拟，规划出规避高端流区的全局路径（Pensado et al.,2024），  
497 以及引入风速风向对无人机功耗的影响，并结合风向的动态变化实时调整地面速  
498 度与航向角（Du et al.,2024）。

499 然而，基于风场建模的路径规划仍面临诸多局限性。首先，复杂的城市或山  
500 地环境中的风场模拟主要依赖高精度 CFD，但是模拟的时间成本制约实时决策  
501 能力。其次，现有的路径规划模型多采用均匀风场或大气风廓线等理想化假设

502 (Hong et al., 2023), 这些风场模型易于集成进路径规划求解算法, 但是却难以  
503 反应真实城市或山地中的风场特征。此外, 多目标优化中权重系数 (如安全性、  
504 路径长度以及功耗) 的设定仍依赖经验, 缺乏普适性理论指导。

505 然而, 基于风场建模的路径规划仍面临诸多局限性。其一, 高精度 CFD 模  
506 拟在复杂城市或山地场景中的计算时效性严重制约实时决策能力; 其二, 现有路  
507 径规划模型多依赖均匀风场或理想化大气风廓线假设 (Hong et al., 2023), 虽降  
508 低算法复杂度却牺牲了真实风场结构 (如建筑尾涡、地形波) 的物理真实性; 其  
509 三, 多目标优化中安全性、路径长度与能耗的权重系数缺乏基于飞行力学原理的  
510 普适性量化准则, 仍以经验设定为主。

511 总体而言, 低空路径规划与气象建模的协同研究已取得阶段性进展, 未来需  
512 进一步提高风场预测精度, 为实时路径优化提供高精度气象输入, 以及进一步量  
513 化气象要素对低空飞行的确切影响, 为路径规划提供可靠的物理约束。

## 514 2 低空经济气象前沿科学问题展望

515 尽管近年来国内外科学家围绕低空经济气象相关领域取得了显著进展, 但在面向低空安全、高效飞行的气象科技支撑, 包括中性边界层基础理论、和湿边界  
516 层过程、低空气象智能感知装备、AI 赋能的低空航危天气监测预警等诸多前沿  
517 科学问题方面, 仍存诸多痛点, 下面将展望这些问题进行讨论, 旨在为低空经济  
518 气象的可持续发展提供指引。

519 尽管近年来国内外学者在低空经济气象领域取得了显著进展, 但在支撑低空  
520 安全、高效运行的气象科技体系构建中, 仍面临一系列亟待突破的核心科学挑战:  
521 中性边界层湍流能量串级机制、湿边界层相变与热力耦合过程、低空气象多源智  
522 能感知装备精度瓶颈、以及 AI 赋能的航危天气实时监测预警可靠性等关键问题。  
523 本文聚焦上述前沿挑战展开系统性探讨, 旨在通过厘清基础理论盲区、技术发展  
524 路径及学科交叉融合方向, 为低空经济气象的可持续发展提供理论锚点和技术路  
525 标。

### 526 2.1 近中性边界层湍流新理论

527 至今为止, CBL 湍流相关研究已取得显著进展, 对流单体和对流滚涡的动  
528 力学特性及生成机制获得充分阐释。前人利用整体稳定判据 ( $-z_i/L$ ), 深入认识了低速条纹、对流滚涡与对流单体, 以及它们之间的转变机制。尤其是对流滚涡  
529 与对流单体, 目前已有新方法能够区分对流滚涡与对流单体 (Aksamit et al., 2024),  
530 打破了传统湍流研究仅建立在平衡边界层条件下的束缚。与此同时, 中性边界层  
531 目前也突破了理论瓶颈, 如 Liu and Stevens (2022) 首次获得了正压条件下适用于整个常规中性边界层内风速、风向、湍流剪切力预测的解析表达式。

532 然而, 湍流结构通常由浮力和风切变共同驱动, 难以单独区分单一强迫对湍  
533 流的影响。近中性边界层介于中性边界层与对流边界层之间, 其动力学机制仍存  
534 在显著认知空白。例如晨昏时往往存在显著的稳定边界层 (Stable Boundary Layer,  
535 SBL) 与 CBL 之间的转换, 存在显著的近中性边界层特征; 台风边界层是另一  
536 种典型的近中性边界层, 存在复杂条件下大气结构函数和湍流演变特征, 这种临  
537 界状态下组织化对流的演变及其对热量、动量和水汽传输的影响机制也仍然模糊

542 不清；斜压条件下的近中性边界层风廓线理论和相应的边界层参数化也依旧不明。  
543 以上这些理论空白直接制约了低空航空器在复杂气象条件下的安全运行。鉴于此，  
544 亟需构建对流近中性边界层湍流理论体系，并以此为基础向非定常、斜压和非均  
545 匀等实际复杂大气边界层理论拓展。

546

## 547 2.2 湿边界层物理过程

548 依据水汽的重要性，可将大气边界层划分为干、湿两类。以往的边界层湍  
549 流研究主要聚焦于“干”过程，即相对湿度较低的晴空边界层过程，而对于包含云、  
550 降水及雾等水凝物的“湿”边界层知之甚少 (LeMone et al., 2019)。湿边界层的复  
551 杂性源于多重机制：水汽密度小于干空气产生的浮力扰动 (10g/kg 水汽的浮力扰  
552 动相当于 1.8K 位温扰动)、降水粒子的拖曳作用及其蒸发冷却导致的负浮力。  
553 此外，边界层水汽抬升凝结后所形成的浅积云和层积云是常见的低空气象现象，  
554 其热动力、水汽作用以及辐射作用又使得湿边界层过程更为复杂。同时，湿边界  
555 层内相干湍流结构还直接参与深对流的触发和维持，例如组织化热对流可触发午  
556 后深对流，低空急流输送水汽可维持中尺度对流系统。

557 然而，湿边界层研究长期面临观测与模拟的双重挑战。由于湿边界层湍流往  
558 往与云过程密切相联，云下层和云层的协同观测是解码云覆盖边界层湍流过程的  
559 关键 (张强等, 2017)。早期地基和塔基设备受限于观测高度，仅能获取近地层  
560 数据，而混合层和云层的湍流特征缺乏有效观测手段难以量化，导致云量、云底  
561 质量通量等基本变量仍无完善的物理模型。模拟方面，湿边界层的模拟需更高的  
562 模式顶以容纳完整的云过程、更宽的水平模式域以解析中尺度对流结构  
563 (Atkinson and Zhang, 1996)，同时云中湍流 (尤其是云和环境交界处的湍流)  
564 尺度受稳定层结的制约而相比湍流更小，需更高的空间分辨率，这对计算资源提  
565 出严峻挑战。此外，由于湿边界层理论认识的缺失，传统的边界层参数化方案全  
566 都建立在干边界层的理论模型之上，边界层中的水汽和水凝物往往都被视为被动  
567 标量，方案中的水汽湍流混合 (包括一些方案中的水凝物混合) 则沿用了干边界  
568 层的热力混合模型。基于干边界层所设计的边界层方案对于湿边界层的适用性缺  
569 乏有效评估，这也与湿边界层中湍流观测的稀缺有关。

570 近年来，高分辨率遥感技术 (激光雷达/云雷达协同观测)、边界层高塔梯  
571 度测量及无人机机载湍流探空系统的突破性发展，为湿边界层研究开辟了新路径。  
572 这些技术已初步实现对非降水相态下全边界层湍流结构的协同捕捉，显著深化了  
573 对云下湍流-云层互馈机制的理解 (如夹卷过程的热力调控作用)。但对于降水  
574 边界层，目前仍然缺乏有效的湍流观测手段，如超声风速仪在声波路径受降水粒  
575 子干扰时可能产生较大的误差 (尤其是超声温度的观测)、雷达回波则因水凝物  
576 信号主导而难以分离弱湍流信号；数值模拟，尤其是湍流可分辨的大涡模拟技术，  
577 已成为研究边界层湍流的重要工具。一些先进的湍流方案已开始考虑湿边界层过  
578 程，并以构建综合考虑边界层湍流、积云对流、云微物理甚至辐射过程的一体化  
579 方案为目标，如 Eddy-Diffusivity Mass-Flux (EDMF; Siebesma, et al., 2007) 方案、  
580 Cloud Layers Unified By Binormals (CLUBB; Golaz et al., 2002) 方案、及 Unified  
581 Convection Scheme (UNICON; Park, 2014) 等，目前这些一体化方案对云覆盖边

582 界层和深对流边界层过程的模拟已展现出较大的潜力 (Lu et al., 2024; Park et al.,  
583 2024; Vraciu et al., 2024)。

584

### 585 2.3 面向低空航空器安全飞行的气象智能感知装备及组网观测

586 由于无人驾驶航空器具有质量轻、惯性小的特点, G/W等非管制空域对低  
587 空风切变、湍流等气象因子的敏感性远高于传统航空器, 湍流的内外尺度与航空  
588 器的尺寸和响应频率高度相关。另一方面, 城市和山区等复杂地表环境中, 绕流  
589 产生的机械湍流与热力湍流形成多尺度涡旋耦合, 其动能谱在惯性子区呈现多峰  
590 值分布的复杂特征, 可严重威胁低空飞行稳定性。然而, 目前我国的气象综合观  
591 测网仍难以实现 G/W 非管制空域内的风切变、湍流等影响低空飞行安全的气象  
592 因子精密监测, 存在诸多痛点难点问题, 使得航路规划中难以量化湍流动能等关  
593 键参数的时空分布梯度, 导致人们对于低空风切变、湍流等影响无人机飞行的关  
594 键气象因子发展和演变物理机制仍不清晰。

595 中华人民共和国工业和信息化部于 2023 年 12 月发布的《民用无人驾驶航空  
596 器生产管理若干规定》并未提及气象感知装备相关技术要求和规定, 导致参与低  
597 空经济运行的大部分无人驾驶航空器未搭载气象载荷。而低空安全飞行需要高时  
598 空分辨率、强时效的气象实况信息, 仅靠地面原位和遥感方式获得的气象观测难  
599 以满足需求。因此, 首先亟需推动适用于无人航空器搭载的多气象要素原位探测  
600 传感器的研制工作, 尤其是研究基于无人航空器悬停、垂直起降及水平航行的先  
601 进气象感知技术; 其次需加强小型化、轻量化的测风激光雷达研制, 尤其是要突  
602 破遥感测风的关键元器件技术; 再次研发基于城市楼宇屋顶平台的云状、云量、  
603 风速计、测风激光雷达等气象要素智能感知装备, 获取低云、能见度、风切变、  
604 湍流等航危天气信息; 最后需针对城市低空经济主要应用场景, 发展城市地基/  
605 楼宇屋顶气象站、三维超声风及测风激光雷达/风廓线雷达等垂直遥感协同组网  
606 观测技术, 建立低空三维风场、风切变、湍流耗散率、湍涡尺度等参数的多源融  
607 合监测技术, 研发影响低空飞行安全的危险天气精准识别与诊断方法。

### 608 2.4 人工智能赋能的低空航危天气短临预警

609 鉴于目前投入低空经济运营的无人驾驶航空器飞行时间往往在 30 分钟以内,  
610 而传统的数值天气预报模式, 受参数化方案局限及计算资源约束, 难以实现低空  
611 航路分钟级风切变、湍流、低空急流及强降水的精准预报。另一方面, 人工智能  
612 短临模型以天气雷达基本反射率因子作为主要输入的也无法快速而准确地预警  
613 低空航路上风切变、湍流、低空急流、强降水等秒级的演变特征。近年来, 人工  
614 智能与物理机制融合的技术路径具备显著潜力。已有研究通过将大气动力学方程、  
615 纳维-斯托克斯方程(N-S)等物理约束嵌入随机森林、神经网络等机器学习框架,  
616 成功实现了对微下击暴流等强对流天气的物理一致性建模 (Hadavi and Romanic,  
617 2024; Yao et al., 2024)。此类方法不仅从有限数据中提取了关键气象参数的非线  
618 性关联, 还通过物理规律的正则化作用降低了模型对海量数据的依赖。与此同时,  
619 利用数值天气预报 (NWP) 输出的垂直风廓线与历史灾害数据, 结合随机森林  
620 模型, 已在欧洲部分机场实现低空风切变 (LLWS) 1 小时预警, 且 PR-AUC 值  
621 达 87%, 验证了轻量化数据驱动的可行性 (Ripesi and Criscuolo, 2024)。

围绕低空安全飞行对气象条件预警的高要求,破局的关键在于发挥现有气象基础设施、无人机载气象遥感装备、无人机飞行姿态和人工智能的协同效能,构建端-端的低空航危天气通用人工智能模型。一方面,依托我国全球最密集的地基垂直观测网络(覆盖风廓线雷达、GNSS/MET水汽站等),构建多源数据同化与物理嵌入AI融合架构,例如利用图神经网络(GNN)耦合大气运动方程,实现微尺度天气系统的“机理-数据”联合推演(Chen et al.,2024),获得低空空域风、云、雨等气象要素观测;另一方面,结合无人机飞行姿态数据,发展无人机集群与微型化传感器协同的低空风切变和湍流智能观测系统,构建基于通用人工智能(AGI)模型的端到端低空航危天气预警模型,实现低空非管制空域航路的风切变和湍流秒级预警(见图5)。此类技术路径既可规避高成本雷达布设瓶颈,又能提高预警时效,为低空航路筑造“监测-预测-响应”一体化的低空航危天气红绿灯监测预警防线。

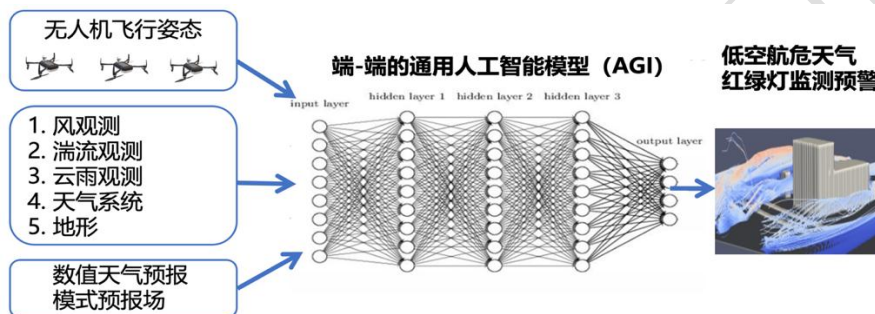


图5基于端-端的通用人工智能模型(AGI)的低空航危天气监测预警流程  
Fig. 5 Workflow of AGI-based monitoring and early warning for low-altitude flight hazardous weather using end-to-end general artificial intelligence models

## 2.5 高精度可业务应用的大涡模式研发

城市作为低空经济的主战场,其上空G/W空域内气象条件精准预报预警对低空飞行安全保障至关重要。受城市下垫面的高度复杂性影响,城市街区内及2到5倍建筑物高度区域内(称为粗糙子层)的气流具有高度的局地特征,空间尺度在十米到百米量级。因此,若要精准预报低空飞行器航路上的气象条件,需要开展10 m量级空间分辨率的大涡模拟,并基于浸入式边界层法等技术手段实现对建筑物的显式分辨。此类大涡模拟计算成本巨大:以10 km x 10 km x 1 km的低空城市区域为例,开展10 m分辨率的大涡模拟需要1亿网格点,目前此类模拟仍限于研究层面,尚无法实现有效预报。

近10年来,基于GPU的大涡模式逐渐兴起,显著提升了计算效率,为城市低空气象预报提供了新的机遇。例如,2020年美国大气研究中心研发的FastEddy模式,采用了基于CUDA语言的GPU构架,实现了相对传统CPU大涡模式(如WRF-LES)百倍以上计算速度提升(Munoz-Esparza et al.,2020; Sauer and Munoz-Esparza, 2020),能耗则是CPU模式的十分之一。在美国能源部的支持下,美国劳伦斯利弗莫尔国家实验室(LLNL)也已推出WRF模式的GPU版本,即Energy Research and Forecasting(ERF)模式,向中尺度到街区尺度的无缝隙预报大步迈进。这些进展表明,基于GPU架构重构大涡模式是突破算力制约的关键方向。

656 我国需加快自主可控且基于 GPU 加速的 LES 和中尺度天气耦合模型研发，  
657 重点突破城市微尺度湍流的精细化建模。一方面需融合浸入边界法（IBM）与动  
658 态亚网格模型，实现对建筑群形态的显式解析，准确捕捉街谷涡旋、屋顶分离流  
659 等特征结构；另一方面需优化异构计算框架，利用国产超算平台实现十亿网格量  
660 级模拟的工程化应用。值得注意的是，单纯依赖进口 GPU 硬件存在技术风险，  
661 需同步开发适配国产加速卡（如 DCU）的核心算法库，构建从下垫面建模、动  
662 态网格优化到实时数据同化的全链条技术体系。该技术路线将推动城市低空气象  
663 预报从“理想化研究”向“业务化预警”的历史性跨越。

## 664 2.6 智能计算流体力学（CFD）模拟技术研发

665 城市微尺度 CFD 模拟通过高分辨率建模，能够精确描述建筑物周围的空气  
666 流动和气象条件。然而，传统 CFD 模拟依赖对物理方程（如 Navier-Stokes 方程）  
667 的数值求解，面临计算成本高、实时性不足的问题，难以满足低空经济对实时性  
668 和灵活性的需求，且在动态边界条件处理和多尺度信息耦合方面仍存在局限。

669 为突破此瓶颈，亟需发展融合物理建模与机器学习的新型智能 CFD 模拟技  
670 术。具体而言，通过构建物理—数据混合驱动的预测框架，可在保持物理一致性的  
671 基础上，利用数据驱动方法加速计算过程，实现分钟级、米级分辨率的快速气  
672 象预报；同时，基于 GPU 并行计算技术开发高效数值求解器，有望进一步大幅  
673 缩短模拟时间，提升整体系统的实时响应能力。

674 根据机器学习介入的深度和对物理方程依赖程度，目前智能 CFD 模拟技术  
675 主要分为两类：一类是替代型方法，通过机器学习模型直接近似 CFD 求解过程，  
676 显著加快计算速度；另一类是辅助型方法，在传统 CFD 框架基础上引入机器学  
677 习，以优化湍流参数化、初边界条件设定等环节，提升模拟效率和精度（Calzolari  
678 and Liu, 2021; Caron et al., 2025）。尽管这种智能 CFD 展现出显著潜力，但在模  
679 型泛化能力方面还有待加强，特别是在不同城市环境和天气条件下，确保其稳定  
680 性和可靠性仍是一项关键挑战。

681 此外，城市微尺度气象演变受区域尺度天气系统调制，单一尺度的 CFD 模  
682 拟难以准确反映这种多尺度相互作用。因此，有必要建立多尺度协同预测框架，  
683 实现区域数值预报模式与微尺度 CFD 模拟的动态耦合。具体而言，通过嵌套耦  
684 合方式，将中尺度模式输出的三维气象场（风、温和湿）作为 CFD 边界条件，  
685 驱动微尺度模拟，并根据实时气象观测及无人机飞行反馈数据，动态更新 CFD  
686 模式的初始场和边界条件，从而提高预测准确性和适应性。面向未来，智能 CFD  
687 模拟技术有望成为低空经济气象服务的核心支撑。通过提供快速、精准的城市微  
688 气象预报，不仅能够有效提升低空飞行器的作业安全性与运行效率，还将助力城  
689 市智能化管理。

## 690 2.7 低空气象条件与无人机路径规划协同优化

691 随着城市低空交通网络的密集化与无人机配送规模的扩大，路径规划技术需  
692 向更高实时性和适应性方向推进。未来研究应重点聚焦动态气象条件下的路径优  
693 化框架构建，并深入探索环境风场影响飞行稳定性的物理机制。

694 虽然基于 CFD 的气象模拟可以精细化模拟城市风场，但其极高的计算成本  
695 难以满足无人机路径规划对分钟级气象数据更新的需求。为此，亟需探索结合数  
696 值模拟与数据驱动风场预测的技术路线，利用历史气象数据训练机器学习模型生  
697 成高分辨率风场，在保证精度的前提下显著降低计算耗时，为动态路径规划提供  
698 可靠的数据输入。

699 无人机在复杂风场环境中的飞行稳定性与能量效率，本质上取决于气动特性  
700 与外部流动的耦合作用机制。现有研究多基于静态假设简化风场影响，将侧风、  
701 湍流等效为恒定干扰力引入动力学方程，难以准确反映瞬态风场扰动对飞行轨迹  
702 的非线性影响。因此，未来的研究需从多尺度流体力学机理出发，建立精细化风  
703 场-飞行器耦合模型。在气动特性建模方面，需通过风洞实验与 CFD 仿真相结合  
704 的方式（Paz et al., 2020, 2021），系统研究不同雷诺数下无人机的气动参数随风  
705 速、攻角的变化规律，建立城市风场耦合无人机气动仿真的模型，以精细化评估  
706 城市场景下的无人机的飞行特性。在飞行器能量消耗建模方面，现有研究多采用  
707 恒定功率假设或经验公式估算飞行能耗（Dorling et al., 2017），忽略了风场引起  
708 的附加阻力与推进系统效率变化，需通过飞行动力学仿真与实验数据联合标定，  
709 建立环境风速与飞行器功耗的确切关系。例如，逆风条件下无人机需增加推力以  
710 维持空速，导致额外的功耗；而侧风则通过诱导偏航力矩迫使飞控系统频繁调整  
711 舵面，增加姿态控制能耗。在安全风险评估层面，需建立动态风场下的飞行可量  
712 化的安全指标，明确低空飞行风险的确切阈值，定义基于风险等级的禁飞区域与  
713 时变的安全走廊，为路径规划提供可信的约束条件。

714 综上所述，低空路径规划的进一步发展需打破学科壁垒，融合气象学、数据  
715 科学以及控制工程方法。一方面，通过数据同化与机器学习提高风场的预测速度  
716 与精度；另一方面，基于多尺度耦合模拟揭示环境风场影响无人机气动特性确切  
717 机制，为路径规划算法提供可量化的物理约束，推动无人机在复杂城市空域中实  
718 现真正意义上的自主智能运行。

## 719 2.8 低空经济气象标准和工程实现规范

720 在实际飞行中，无人航空器需要确定何时穿云、绕云，以及与云保持多远的  
721 距离飞行。然而无人机与云的侧边界和云底之间的安全距离阈值尚未明确界定，  
722 导致我国低空航空器适航论证标准（云外飞行）缺乏充分的科学依据。当前针对  
723 低空空域的政策中阈值设定过于保守，极大程度上限制了无人机的飞行灵活性——  
724 当云处于消散状态时，无人机实则具备在云中安全飞行的可能性，因此还需要  
725 加强科学实验研究，以确定更为合理、科学的距离阈值。

726 此外，无论是适航论证标准的建立，还是针对湍流的低空监测预警，都需要  
727 先进的湍流监测预警装备提供支持。但目前湍流监测预警装备缺乏，因为雷达反  
728 射率因子与湍流强度相关性弱（Hamilton et al., 2012），限制了适航论证标准的  
729 科学性。未来需加大研发投入，开发精准、高效监测技术，获取丰富湍流数据，  
730 为标准制定提供科学依据，进而提升空域利用效率，促进低空经济产业健康发展，  
731 助力我国低空经济在全球竞争中占据优势地位。

## 732 3 结束语

尽管诞生于 19 世纪末的传统边界层气象已取得显著进展，且现有天气预报模式中也考虑了边界层湍流参数化方案。但人们对低空航危天气发生发展过程的观测和预报预警手段仍存诸多不足，尤其是对低空经济气象这一新兴交叉学科的科学理解尚不深刻，具体体现在：低空经济气象研究已在边界层湍流机制、航危天气监测及数值模拟等领域取得实质性突破。在大气边界层方面，通过大涡模拟（LES）与观测实验，揭示了湍流相干结构（如对流滚涡、低速条纹）的演变规律，发现其转变机制与浮力和风切变的相对作用密切相关；激光雷达与多普勒雷达技术实现了晴空边界层湍流的高时空分辨率监测，但降水条件下的湍流观测仍受设备精度制约。在航危天气预警领域，人工智能算法（如随机森林、贝叶斯模型）显著提升了晴空湍流（CAT）与对流性湍流（CIT）的识别效率，美国已构建微下击暴流自动化监测系统，而我国因云下杂波抑制技术短板，尚未形成自主业务化产品。此外，LES 与城市微尺度 CFD 模拟结合 GPU 并行计算，推动了城市风场精细化模拟，为低空路径规划提供了数据支撑，但实时性与多目标优化仍存在技术瓶颈。

面向低空经济安全发展的需求，亟需从理论、技术与应用层面突破关键问题。理论层面，需构建近中性边界层湍流新理论，解析晨昏时段稳定边界层与对流边界层的过渡机制，完善湿边界层中水汽相变与湍流耦合的物理模型。技术层面，需研发“AI + 物理约束”的端到端预警模型，融合无人机姿态数据与多源观测，实现微下击暴流等突发天气的秒级预警；同时推进国产 GPU 加速的大涡模式（CMA-LES）工程化，突破城市街区 10 米级分辨率模拟的算力限制。应用层面，需建立基于低空风切变和湍流强度的气象适航论证标准，优化云外飞行安全阈值，并构建星空地协同观测网络，填补 G/W 空域垂直观测空白。此外，需发展智能 CFD 与路径规划的动态耦合技术，量化风场对无人机能耗与稳定性的影响，并建立“红绿灯”式的低空航危天气风险定级技术，形成“气象预测—路径优化—安全评估”一体化体系，为低空经济可持续发展提供科技支撑。

## 致谢

感谢国家自然科学基金委杰出青年科学基金项目(42325501)，科技部重点研发项目（42325501）和中国气象科学研究院基本科研业务费（2024Z003）共同资助。

## 参考文献

- 郭建平, 刘博铭, 郭晓冉, 张颖, 2021: 风廓线雷达组网观测新型应用研究进展[J]. 气象科技进展, 11(2):5-12. Guo J, Liu B, Guo X, Zhang Y, 2021. Research progress on new applications based on radar wind profiler networking observations[J]. Advances in Meteorological Science and Technology, 11(2):5-12(in Chinese).
- 何成, 卢骁, 范绍佳, 2022. 中国近地面夜间臭氧增加事件的特征及其潜在成因[C]// 第二十六届大气污染防治技术研讨会论文集. 383. He C, Lu X, Fan S J, 2022. Characteristics and potential causes of nocturnal surface ozone enhancement events in China[C]// Proceedings of the 26th Symposium on Air Pollution Control Technology. 383(in Chinese).
- 黄轩, 郑佳锋, 张杰, 等, 2022. 西宁机场一次低空风切变的结构和特征研究[J]. 激光技术, 46(2):206-212. Huang X, Zheng J F, Zhang J, et al., 2022. A Study on the Structure and Characteristics of a Low-Level Wind Shear Incident at Xining Airport. Laser Technol, 46(2):206-212(in Chinese).
- 梁志, 师宇, 张哲, 等, 2024. 大气稳定性对边界层垂直风切变的影响[J]. 中国科学院大学学报(中英文), 41(03):365-374. Liang Z, Shi Y, Zhang Z, et al., 2024. Impact of atmospheric stability on vertical wind shear in the boundary layer[J]. J Univ Chin Acad Sci, 41(03):365-374(in Chinese).

- 779 刘树华, 缪育聰, 李婧, 2020. 我国区域大气污染成因机制研究[C]//  
780 2020中国环境科学学会科学技术年会论文集(第一卷). 1210-1214. Liu S H, Miao Y C, Li J,  
781 2020. Research on the formation mechanism of regional air pollution in China[C]// Proceedings of  
782 the 2020 Annual Conference of Chinese Society for Environmental Sciences (Volume 1).  
783 1210-1214(in Chinese).
- 784 刘晓英, 吴松华,  
785 张洪玮, 等, 2020. 基于相干多普勒风激光雷达的不同成因类型的低空风切变观测[J]. 红外与  
786 毫米波学报, 39(4):491-504. Liu X Y, Wu S H, Zhang H W, et al., 2020. Observation of  
787 Low-altitude Wind Shear of Different Causes Based on Coherent Doppler Wind Lidar[J]. J Infrared  
788 Millimeter Waves, 39(4):491-504(in Chinese).
- 789 王安庭, 李煜斌, 赵纯, 等, 2021. 边界层方案对南京地区PM2.5浓度模拟的影响[J]. 中国环境科学,  
790 41(07):2977-2992. Wang A T, Li Y B, Zhao C, et al., 2021. Impact of boundary layer schemes on  
791 PM2.5 concentration simulation in Nanjing area[J]. China Environ Sci, 41(07):2977-2992(in  
792 Chinese).
- 793 徐丽丽, 张镭, 杜韬, 等, 2020. 利用地基遥感资料确定大气边界层高度[J]. 兰州大学学报(自然科学版),  
794 56(05):635-641. Xu L L, Zhang L, Du T, et al., 2020. Determination  
795 of atmospheric boundary layer height using ground-based remote sensing data[J]. J Lanzhou Univ  
796 (Nat Sci), 56(05):635-641(in Chinese).
- 797 张宏昇, 张小曳, 李倩惠, 等, 2020. 大气边界层高度确定及应用研究进展[J]. 气象学报,  
798 78(03):522-536. Zhang H S, Zhang X Y, Li Q H, et al., 2020. Research progress on the  
799 determination and application of atmospheric boundary layer height[J]. Acta Meteor Sin,  
800 78(03):522-536(in Chinese).
- 801 张强, 2003. 大气边界层气象学研究综述[J]. 干旱气象, 21(3): 74-78. Zhang Q, 2003. Research  
802 review of atmospheric boundary layer meteorology[J]. J Arid Meteor, 21(3): 74-78 (in Chinese).
- 803 张强, 胡隐樵, 2001. 大气边界层物理学的研究进展和面临的科学问题[J]. 地球科学进展, 16(4):  
804 526-532. Zhang Q, Hu Y Q, 2001. Advances and scientific issues in atmospheric boundary layer  
805 physics[J]. Adv Earth Sci, 16(4): 526-532 (in Chinese).
- 806 张强, 王蓉, 岳平, 等, 2017. 复杂条件下陆-气相互作用研究领域有关科学问题探讨[J]. 气象学  
807 报, 75(1): 39-56. Zhang Q, Wang R, Yue P, et al., 2017. Discussion on scientific issues in  
808 land-atmosphere interaction under complex conditions[J]. Acta Meteor Sin, 75(1): 39-56 (in  
809 Chinese).
- 810 赵昭, 周博闻, 2021. 日间对流边界层中的非局地动量混合[J]. 气象科学, 41(05):631-643. Zhao Z,  
811 Zhou B W, 2021. Non-local momentum mixing in the daytime convective boundary layer[J]. Sci  
812 Meteor Sin, 41(05):631-643(in Chinese).
- 813 中国民用航空局, 2023. 国家空域基础分类方法, 1-10. Civil Aviation Administration of China, 2023.  
814 National airspace basic classification methodology, 1-10(in Chinese).
- 815 中国气象局, 2024. 低空经济气象科技创新工作方案(2024—2030年), 1-13. China Meteorological  
816 Administration, 2024. Work Plan for Meteorological Science and Technology Innovation in the  
817 Low-Altitude Economy (2024–2030), pp. 1–13(in Chinese).
- 818 Abernethy J A, 2008. A domain analysis approach to clear-air turbulence forecasting using high-density  
819 in-situ measurements[D]. University of Colorado at Boulder.
- 820 Agee E, Chen T, Dowell K, 1973. A review of mesoscale cellular convection[J]. Bull Amer Meteor Soc,  
821 54: 1004–1012.
- 822 Aksamit N, Katurji M, Zhang J, 2024. Understanding coherent turbulence and the roll - cell transition  
823 with Lagrangian coherent structures and frame - indifferent fluxes[J]. J Geophys Res,  
824 129(18):e2024JD041490.
- 825 Atkinson B W, Zhang J W, 1996. Mesoscale shallow convection in the atmosphere[J]. Rev Geophys,  
826 34(4): 403–431.
- 827 Blocken B, 2018. LES over RANS in building simulation for outdoor and indoor applications: A  
828 foregone conclusion? Building Simulation, 11: 821-870.
- 829 Boilley A, and Mahfouf J F, 2013. Wind shear over the Nice Côte d'Azur airport: case studies[J]. Nat  
830 Hazards Earth Syst Sci, 13(9):2223–2238.
- 831 Bonner W D, 1968. Climatology of the low level jet[J]. Mon Wea Rev, 96: 833-850.
- 832 Bottyán Z, Gyöngyösi A Z, Wantuch F, et al., 2015. Measuring and modeling of hazardous weather  
833 phenomena to aviation using the Hungarian Unmanned Meteorological Aircraft System (HUMAS)  
834 [J]. Idojaras, 119(3):307–335.
- 835 Bottyán Z, Tuba Z, and Gyöngyösi A Z, 2016. Weather forecasting system for the Unmanned Aircraft  
836 Systems (UAS) missions with the special regard to visibility prediction, in Hungary[M]. In: Critical  
837 Infrastructure Protection Research: Results of the First Critical Infrastructure Protection Research  
838 Project in Hungary. 23–34.
- 839 Bou-Zeid E, Meneveau C, Parlange M, 2005. A scale-dependent Lagrangian dynamic model for large  
840 eddy simulation of complex turbulent flows[J]. Phys Fluids, 17: 025105.

- 841 Brewster K A, 1984. Kinetic Energy Evolution in a Developing Severe Thunderstorm[M]. University of  
842 Oklahoma.
- 843 Brosy C, Krampf K, Zeeman M, et al., 2017. Simultaneous multicopter-based air sampling and sensing  
844 of meteorological variables[J]. *Atmos Meas Tech Discuss*, 2017:1–21.
- 845 Brümmer B, 1999. Roll and cell convection in wintertime Arctic cold-air outbreaks[J]. *J Atmos Sci*,  
846 56(15): 2613–2636.
- 847 Calzolari G, Liu W, 2021. Deep learning to replace, improve, or aid CFD analysis in built environment  
848 applications: A review. *Building and Environment*, 206, 108315.
- 849 Caron C, Lauret P, Bastide A, 2025. Machine Learning to speed up Computational Fluid Dynamics  
850 engineering simulations for built environments: A review. *Building and Environment*, 267: 112229.
- 851 Chan Y Y, Ng K K H, Wang T, et al., 2025. Near time-optimal trajectory optimisation for drones in  
852 last-mile delivery using spatial reformulation approach[J]. *Transp Res Part C Emerg Technol*,  
853 171:104986.
- 854 Chen Y, An J L, Lin J, et al., 2017a. Observation of nocturnal low-level wind shear and particulate matter  
855 in urban Beijing using a Doppler wind lidar[J]. *Atmos Ocean Sci Lett*, 10(6):411–417.
- 856 Chen Y, An J, Wang X, et al., 2017b. Observation of wind shear during evening transition and an  
857 estimation of submicron aerosol concentrations in Beijing using a Doppler wind lidar[J]. *J Meteor  
858 Res*, 31(2):350–362.
- 859 Chen Y, Wang Y, Huang G, et al., 2024. Coupling physical factors for precipitation forecast in China  
860 with graph neural network[J]. *Geophys Res Lett*, 51: e2023GL106676.  
861 <https://doi.org/10.1029/2023GL106676>.
- 862 Cho J Y N, 2005. Multi-PRI signal processing for the Terminal Doppler Weather Radar. Part II: Range–  
863 velocity ambiguity mitigation[J]. *J Atmos Ocean Tech*, 22: 1507–1519.  
864 <https://doi.org/10.1175/JTECH1805.1>.
- 865 Cho J Y N, Chornoboy E S, 2005. Multi-PRI signal processing for the Terminal Doppler Weather Radar.  
866 Part I: Clutter filtering[J]. *J Atmos Ocean Tech*, 22: 575–582.  
867 <https://doi.org/10.1175/JTECH1730.1>.
- 868 Chornoboy E S, Matlin A M, Morgan J P, 1994. Automated storm tracking for terminal air traffic  
869 control[J]. *Lincoln Lab J*, 7: 427–448.
- 870 Chow F, Street R L, Xue M, et al., 2005. Explicit filtering and reconstruction turbulence modeling for  
871 large-eddy simulation of neutral boundary layer flow[J]. *J Atmos Sci*, 62: 2058–2077.  
872 <https://doi.org/10.1175/JAS3456.1>.
- 873 Christian T W, Wakimoto R M, 1989. The relationship between radar reflectivities and clouds associated  
874 with horizontal roll convection on 8 August 1982[J]. *Mon Wea Rev*, 117(7): 1530–  
875 1544. [https://doi.org/10.1175/1520-0493\(1989\)117<1530:TRBRRA>2.0.CO;2](https://doi.org/10.1175/1520-0493(1989)117<1530:TRBRRA>2.0.CO;2).
- 876 Chrit M, and Majdi M, 2022. Improving wind speed forecasting for urban air mobility using coupled  
877 simulations[J]. *Adv Meteorol*, 2022:2629432.
- 878 Cole K, and Wickenheiser A M, 2018. Reactive trajectory generation for multiple vehicles in unknown  
879 environments with wind disturbances[J]. *IEEE Trans Robot*, 34(5):1333–1348.
- 880 Cornman C S, Meymaris G, Limber M, 2004. An update on the FAA aviation weather research  
881 program's in situ turbulence measurement and reporting system[C]. 11th Conf on Aviation, Range,  
882 and Aerospace Meteorology, Boulder, CO, National Center for Atmospheric Research, P4.3.  
883 <https://www.researchgate.net/publication/228379921>.
- 884 Cornman C S, Morse C, Cunning G, 1995. Real-time estimation of atmospheric turbulence severity from  
885 in-situ aircraft measurements[J]. *J Aircr*, 32: 171–177. <https://doi.org/10.2514/3.46697>.
- 886 Cornman L B, 2016. Airborne in situ measurements of turbulence[M]//Sharman R, Lane T, Eds.  
887 *Aviation Turbulence: Processes, Detection, Prediction*. Springer: 97–120.  
888 [https://doi.org/10.1007/978-3-319-23630-8\\_5](https://doi.org/10.1007/978-3-319-23630-8_5).
- 889 Cornman L B, Carmichael B, 1993. Varied research efforts are under way to find means of avoiding air  
890 turbulence[J]. *ICAO J*, 48: 10–15.
- 891 Crum T D, Alberty R L, 1993. The WSR-88D and the WSR-88D Operational Support Facility[J]. *Bull  
892 Amer Meteor Soc*, 74: 1669–1688.  
893 [https://doi.org/10.1175/1520-0477\(1993\)074<1669:TWATWO>2.0.CO;2](https://doi.org/10.1175/1520-0477(1993)074<1669:TWATWO>2.0.CO;2).
- 894 Cybyk B, Frey T, McGrath B, et al., 2009. Unsteady urban airflows and their impact on small unmanned  
895 air system operations[C]. In: AIAA Atmospheric Flight Mechanics Conference. 6049.
- 896 Deardorff J W, 1972. Numerical investigation of neutral and unstable planetary boundary layers[J]. *J  
897 Atmos Sci*, 29: 91–115.
- 898 Deardorff J W, 1974. Three-dimensional numerical study of the height and mean structure of a heated  
899 planetary boundary layer[J]. *Bound-Layer Meteor*, 7: 81–106.  
900 <https://doi.org/10.1007/BF00224974>.
- 901 Deardorff J W, 1980. Stratocumulus-capped mixed layers derived from a three-dimensional model[J].  
902 *Bound-Layer Meteor*, 18: 495–527. <https://doi.org/10.1007/BF00119502>.

- 903 Debnath S K, Omar R, Latip N B A, 2019. A review on energy efficient path planning algorithms for  
904 unmanned air vehicles[C]. In: Alfred R, Lim Y, Ibrahim A A A, Anthony P, eds. Computational  
905 Science and Technology. Singapore: Springer, 523–532.
- 906 Della P D T, Demoz B, 2025. Signal Processing of Images for Convective Boundary Layer Height  
907 Estimation from Radar (SPICER) and multi-instrument verification[J]. IEEE Trans Geosci Remote  
908 Sens.
- 909 Ding J, Ren Y, Zhang H, et al., 2025. Mechanism of turbulence structure evolution in the nocturnal  
910 boundary layer during the interaction of low-level jet and internal gravity waves: Based on full  
911 boundary layer turbulence observations[J]. J Geophys Res: Atmos, 130(6): e2024JD042106.
- 912 Dorling K, Heinrichs J, Messier G G, et al., 2017. Vehicle routing problems for drone delivery[J]. IEEE  
913 Trans Syst Man Cybern Syst, 47:70–85.
- 914 Doviak R J, Lee J T, 1985. Radar for Storm Forecasting and Weather Hazard Warning[J]. J Aircr, 22:  
915 1059–1063.
- 916 Du P, Shi Y, Cao H, et al., 2024. AI-enabled trajectory optimization of logistics UAVs with wind  
917 impacts in smart cities[J]. IEEE Trans Consum Electron, 70:3885–3897.
- 918 Du Y, Zhang Q H, Ying Y, et al., 2012. Characteristics of low-level jets in Shanghai during the  
919 2008–2009 warm seasons as inferred from wind profiler radar data[J]. J Meteor Soc Japan, 90:  
920 891–903.
- 921 Dupont S, Patton E G, 2012. Influence of stability and seasonal canopy changes on micrometeorology  
922 within and above an orchard canopy: The CHATS experiment[J]. Agr Forest Meteorol, 157: 11–29.  
923 <https://doi.org/10.1016/j.agrformet.2012.01.011>.
- 924 Evans J, Bernella D, 1994. Supporting the deployment of the Terminal Doppler Weather Radar  
925 (TDWR)[J]. Lincoln Lab J, 7: 379–398.
- 926 Ferguson C R, 2022. Changes in great plains low-level jet structure and associated precipitation over  
927 the 20th century[J]. J Geophys Res: Atmos, 127: e2021JD035859.
- 928 Fujita T T, 1976. Spearhead echo and downburst near the approach end of John F. Kennedy airport  
929 runway, New York City[R]. University of Chicago SMRP Research Paper 137: 56 pp.
- 930 Fujita T T, 1985. The downburst, microburst and macroburst[R]. University of Chicago SMRP Research  
931 Paper 210: 122 pp. <http://pi.lib.uchicago.edu/1001/cat/bib/684175>.
- 932 Galway D, Etele J, and Fusina G, 2011. Modeling of urban wind field effects on unmanned rotorcraft  
933 flight[J]. J Aircr, 48(5):1613–1620.
- 934 Giersch S, El Guernaoui O, Raasch S, et al., 2022. Atmospheric flow simulation strategies to assess  
935 turbulent wind conditions for safe drone operations in urban environments[J]. J Wind Eng Ind  
936 Aerodyn, 229:105136.
- 937 Golaz J C, Larson V E, Cotton W R, 2002. A PDF-Based Model for Boundary Layer Clouds. Part I:  
938 Method and Model Description[J]. J Atmos Sci, 59(24): 3540–  
939 3551. [https://doi.org/10.1175/1520-0469\(2002\)059<3540:APBMFB>2.0.CO;2](https://doi.org/10.1175/1520-0469(2002)059<3540:APBMFB>2.0.CO;2).
- 940 Grossman R L, 1982. An analysis of vertical velocity spectra obtained in the BOMEX fair-weather,  
941 trade-wind boundary layer[J]. Bound-Layer Meteorol, 23(3): 323–357.
- 942 Gultepe I et al., 2019. A review of high impact weather for aviation meteorology[J]. Pure and Applied  
943 Geophysics[J], 176: 1869–1921.
- 944 Gunter W S, Schroeder J L, 2015. High-resolution full-scale measurements of thunderstorm outflow  
945 winds[J]. J Wind Eng Ind Aerod, 138: 13–26.
- 946 Guo J, Miao Y, Zhang Y, et al., 2016. The climatology of planetary boundary layer height in China  
947 derived from radiosonde and reanalysis data[J]. Atmos Chem Phys, 16: 13309–  
948 13319. <https://doi.org/10.5194/acp-16-13309-2016>.
- 949 Guo, J., Zhang, J., Shao, J., Chen, T., Bai, K., Sun, Y., Li, N., Wu, J., Li, R., Li, J., Guo, Q., Cohen, J. B.,  
950 Zhai, P., Xu, X., and Hu, F. 2024. A merged continental planetary boundary layer height dataset  
951 based on high-resolution radiosonde measurements, ERA5 reanalysis, and GLDAS[J]. Earth Syst.  
952 Sci. Data, 16, 1–14, <https://doi.org/10.5194/essd-16-1-2024>.
- 953 Hadavi M, Romanic D, 2024. Machine Learning Investigation of Downburst-Prone Environments in  
954 Canada[J]. J Appl Meteor Climatol, 63(6): 677–697.
- 955 Hallgren C, Aird J A, Ivanell S, et al., 2023. Machine learning methods to improve spatial predictions of  
956 coastal wind speed profiles and low-level jets using single-level ERA5 data[J]. Wind Energy  
957 Science Discussions, 2023: 1–30.
- 958 Hamilton D W, Proctor F H, Ahmad N N, 2012. Flight Tests of the Turbulence Prediction and Warning  
959 System (TPAWS)[R]. NASA/TM-2012-217337.
- 960 Hannon S M, 2004. Pulsed Doppler lidar for terminal area monitoring of wind and wake hazards[C]. 11th  
961 Conf on Aviation, Range, and Aerospace Meteorology, Hyannis, MA, Amer Meteor Soc,  
962 P4.21. [https://ams.confex.com/ams/11aram22sls/techprogram/paper\\_87757.htm](https://ams.confex.com/ams/11aram22sls/techprogram/paper_87757.htm).
- 963 Hastings R, 2009. Multi-platform analysis of morning transition and evolution of shallow mesoscale  
964 convection on 21 June 2002[M]. The Pennsylvania State University.

- 965 Hitchcock S M, Lane T P, Deierling W, et al., 2025. Spatial Patterns of Turbulence near  
966 Thunderstorms[J]. Bull Amer Meteor Soc, 106: E1–E22.  
<https://doi.org/10.1175/BAMS-D-23-0142.1>.
- 967 Hjelmfelt M R, 1988. Structure and life cycle of microburst outflows observed in Colorado[J]. J Climate Appl Meteor, 27: 900–927.  
[https://doi.org/10.1175/1520-0450\(1988\)027<0900:SALCOM>2.0.CO;2](https://doi.org/10.1175/1520-0450(1988)027<0900:SALCOM>2.0.CO;2).
- 970 Hong H, Liu L, Holzapfel F, et al., 2023. Dynamic soaring under different atmospheric stability conditions[J]. J Guid Control Dyn, 46:970–977.
- 971 Jayaraman B, Brasseur J G, 2021. Transition in atmospheric boundary layer turbulence structure from neutral to convective, and large-scale rolls[J]. J Fluid Mech, 913: 1–31.  
<https://doi.org/10.1017/jfm.2021.3>.
- 972 Jiang S, Wang J, Li C, et al., 2024. Identification of no-fly zones for delivery drone path planning in various urban wind environments[J]. Phys Fluids, 36:085166.
- 973 Kaimal J, Wyngaard J, Haugen D, et al., 1976. Turbulence structure in the convective boundary layer[J]. J Atmos Sci, 33(11): 2152–2169.
- 974 Keohan, C. F., B. Keith, and S. M. Hannon, 2006: Evaluation of pulsed lidar wind hazard detection at Las Vegas International Airport. Proc. 12th Conf. on Aviation Range and Aerospace Meteorology, Atlanta, GA, Amer. Meteor. Soc., P5.4, [https://ams.confex.com/ams/Annual2006/techprogram/paper\\_105481.htm](https://ams.confex.com/ams/Annual2006/techprogram/paper_105481.htm).
- 975 Keohan C F, Keith B, Hannon S M, 2006. Evaluation of pulsed lidar wind hazard detection at Las Vegas International Airport[C]. Proc 12th Conf on Aviation Range and Aerospace Meteorology, Atlanta, GA, Amer Meteor Soc, P5.4. [https://ams.confex.com/ams/Annual2006/techprogram/paper\\_105481.htm](https://ams.confex.com/ams/Annual2006/techprogram/paper_105481.htm).
- 976 Kessinger C J, Parson D B, Wilson J W, 1988. Observation of a storm containing misocyclones, downbursts, and horizontal vortex circulations[J]. Mon Wea Rev, 116: 1959–1982.  
[https://doi.org/10.1175/1520-0493\(1988\)116<1959:OOASCM>2.0.CO;2](https://doi.org/10.1175/1520-0493(1988)116<1959:OOASCM>2.0.CO;2).
- 977 Khanna S, Brasseur J G, 1998. Three-dimensional buoyancy- and shear-induced local structure of the atmospheric boundary layer[J]. J Atmos Sci, 55(5): 710–743.
- 978 Kim J H, Chan W N, Sridhar B, et al., 2015. Combined winds and turbulence prediction system for automated air-traffic management applications[J]. J Appl Meteor Climatol, 54(4):766–784.
- 979 Kim S H, Chun H Y, Lee D B, et al., 2021. Improving numerical weather prediction-based near-cloud aviation turbulence forecasts by diagnosing convective gravity wave breaking[J]. Wea Forecasting, 36: 1735–1757. <https://doi.org/10.1175/WAF-D-20-0213.1>.
- 980 Kim Y C, Matsui M, 2017. Analytical and empirical models of tornado vortices: a comparative study[J]. J Wind Eng Ind Aerod, 171: 230–247.
- 981 Kong H, Zhang Q H, Du Y, et al., 2020. Characteristics of coastal low-level jets over Beibu gulf, China, during the early warm season[J]. J Geophys Res: Atmos, 125: e2019JD031918.
- 982 Kuettner J, 1959. The band structure of the atmosphere[J]. Tellus Ser A, Dyn Meteor Oceanogr, 11(3): 267–294. <https://doi.org/10.1111/j.2153-3490.1959.tb00033.x>.
- 983 Laird, B., and J. Evans, 1982: FAA weather surveillance requirements in the context of NEXRAD. MIT Lincoln Laboratory Project Rep. ATC-112, 184 pp.
- 984 Laird B, Evans J, 1982. FAA weather surveillance requirements in the context of NEXRAD[R]. MIT Lincoln Laboratory Project Rep. ATC-112: 184 pp.
- 985 Lee M J, Kim J, Moin P, 1990. Structure of turbulence at high shear rate[J]. J Fluid Mech, 216: 561–583.
- 986 Leith C, 1990. Stochastic backscatter in a subgrid-scale model: Plane shear mixing layer[J]. Phys Fluids, 2: 297–299. <https://doi.org/10.1063/1.857779>.
- 987 LeMone M, 1973. The structure and dynamics of horizontal roll vortices in the planetary boundary layer[J]. J Atmos Sci, 30(6): 1077–1091.
- 988 Lilly D, 1966. On the application of the eddy viscosity concept in the inertial sub-range of turbulence[R]. NCAR Manuscript 123: 19 pp.
- 989 Lima D C A, Soares P M M, Semedo A, et al., 2018. A global view of coastal low-level wind jets using an ensemble of reanalyses[J]. J Climate, 31: 1525–1546.
- 990 Liu, B., Guo, J., Gong, W., Shi, Y., Jin, S., 2020. Boundary layer height as estimated from Radar wind profilers in four Cities in China: relative contributions from aerosols and surface features[J]. Remote Sensing, 12, 1657. <https://doi.org/10.3390/rs12101657>.
- 991 Liu, B., Y. Ma, J. Guo, W. Gong, Y. Zhang, F. Mao, J. Li, X. Guo, and Y. Shi, 2019. Boundary layer heights as derived from ground-based radar wind profiler in Beijing[J], IEEE Trans. Geosci. Remote Sens. 57(10): 8095-8104. doi: 10.1109/TGRS.2019.2918301.
- 992 Liu L, Stevens R J, 2022. Vertical structure of conventionally neutral atmospheric boundary layers[J]. Proc Natl Acad Sci, 119(22): e2119369119.
- 993 Liu L, Wang X, Yang X, et al., 2023. Path planning techniques for mobile robots: review and prospect[J]. Expert Syst Appl, 227:120254.
- 994 Liu M, Zhang X, Zhu X S, et al., 2023. Large-eddy simulation of the rapidly intensifying tropical cyclone Soudelor (2015)[J]. Atmos Res, 294: 106976.

- 1028 Lu H, Porté-Agel F, 2010. A modulated gradient model for large-eddy simulation: Application to a  
 1029 neutral atmospheric boundary layer[J]. *Phys Fluids*, 22: 015109. <https://doi.org/10.1063/1.3291073>.
- 1030
- 1031 Lu J, Nazarian N, Hart M A, et al., 2024. A one-dimensional urban flow model with an eddy-diffusivity  
 1032 mass-flux (EDMF) scheme and refined turbulent transport (MLUCM v3.0)[J]. *Geosci Model Dev*,  
 1033 17(7): 2525–2545.
- 1034 Lu M, Fan X, Chen H, et al., 2025. FAPP: Fast and adaptive perception and planning for UAVs in  
 1035 dynamic cluttered environments[J]. *IEEE Trans Robot*, 41:871–886.
- 1036 Ludwig F L, Chow F K, Street R L, 2009. Effect of turbulence models and spatial resolution on resolved  
 1037 velocity and structure and momentum fluxes in large-eddy simulations of neutral boundary-layer  
 1038 flows[J]. *J Appl Meteor Climatol*, 48: 1161–1180. <https://doi.org/10.1175/2008JAMC2021.1>.
- 1039 Ma J, Luo L, Chen M, et al., 2021. Clear-air turbulence (CAT) identification with X-band dual  
 1040 polarimetric radar based on Bayesian approach[J]. *Atmosphere*, 12(12): 1691.
- 1041 Mahoney W P III, Rodi A, 1987. Aircraft measurements on microburst development from hydrometeor  
 1042 evaporation[J]. *J Atmos Sci*, 44: 3037–3051. [https://doi.org/10.1175/1520-0469\(1987\)044<3037:AMOMDF>2.0.CO;2](https://doi.org/10.1175/1520-0469(1987)044<3037:AMOMDF>2.0.CO;2).
- 1043 Mason P J, Derbyshire S H, 1990. Large eddy simulation of the stably-stratified atmospheric boundary  
 1044 layer[J]. *Bound-Layer Meteor*, 53: 117–162. <https://doi.org/10.1007/BF00122467>.
- 1045 Mason P J, Thomson D J, 1992. Stochastic backscatter in large-eddy simulations of boundary layers[J]. *J*  
 1046 *Fluid Mech*, 242: 51–78. <https://doi.org/10.1017/S0022112092002271>.
- 1047 McCarthy J, Wilson J W, 1984. The microburst as a hazard to aviation: Structure, mechanism,  
 1048 climatology, and nowcasting[C]. Preprints, Nowcasting II Symp., Norrkoping, Sweden, European  
 1049 Space Agency: 21–30.
- 1050 McCarthy J, Wilson J W, Fujita T T, 1982. The Joint Airport Weather Studies project[J]. *Bull Amer*  
 1051 *Meteor Soc*, 63: 15–22. [https://doi.org/10.1175/1520-0477\(1982\)063<0015:TJAWSP>2.0.CO;2](https://doi.org/10.1175/1520-0477(1982)063<0015:TJAWSP>2.0.CO;2).
- 1052 McGrath B E, Cybyk B Z, and Frey T M, 2012. Environment-vehicle interaction modeling for unmanned  
 1053 aerial system operations in complex airflow environments[J]. *Johns Hopkins APL Tech Dig*,  
 1054 31(2):115–131.
- 1055 Meneveau C, Lund T S, Cabot W H, 1996. A Lagrangian dynamic subgrid-scale model of turbulence[J].  
 1056 *J Fluid Mech*, 319: 353–385. <https://doi.org/10.1017/S0022112096007379>.
- 1057 Moeng C, Sullivan P, 1994. A comparison of shear- and buoyancy-driven planetary boundary layer  
 1058 flows[J]. *J Atmos Sci*, 51(7): 999–1022.
- 1059 Munoz-Esparza D, Sauer J A, Shin H H, et al., 2020. Inclusion of building-resolving capabilities into the  
 1060 FastEddy® GPU-LES model using an immersed body force method[J]. *J Adv Model Earth Syst*,  
 1061 12(11): e2020MS002141. <https://doi.org/10.1029/2020MS002141>.
- 1062 Muñoz-Esparza D, Sharman R D, Deierling W, 2020. Aviation turbulence forecasting at upper levels  
 1063 with machine learning techniques based on regression trees[J]. *J Appl Meteor Climatol*, 59(11):  
 1064 1883–1899.
- 1065 Nair H R C R, Budhavant K, Manoj M R, et al., 2023. Aerosol demasking enhances climate warming  
 1066 over South Asia[J]. *NPJ Clim Atmos Sci*, 6(1): 39.
- 1067 O'Connor E J, Illingworth A J, Brooks I M, et al., 2010. A method for estimating the turbulent kinetic  
 1068 energy dissipation rate from a vertically pointing Doppler lidar, and independent evaluation from  
 1069 balloon-borne in situ measurements[J]. *J Atmos Ocean Tech*, 27(10):1652–1664.
- 1070 Oude Nijhuis A C P, Thobois L P, Barbaresco F, et al., 2018. Wind hazard and turbulence monitoring at  
 1071 airports with Lidar, Radar, and Mode-S downlinks: The UFO Project[J]. *Bull Amer Meteor Soc*,  
 1072 99(11): 2275–2293.
- 1073 Panofsky H A, 1974. The atmospheric boundary layer below 150 meters[J]. *Annu Rev Fluid Mech*, 6(1):  
 1074 147–177.
- 1075 Park S B, Baik J J, 2014. Large-eddy simulations of convective boundary layers over flat and urban-like  
 1076 surfaces[J]. *J Atmos Sci*, 71: 1880–1892.
- 1077 Park S, 2014. A Unified Convection Scheme (UNICON). Part I: Formulation[J]. *J Atmos Sci*, 71(11):  
 1078 3902–3930. <https://doi.org/10.1175/JAS-D-13-0233.1>.
- 1079 Park S, Song C, Kim S, et al., 2024. Parameterization of the elevated convection with a unified  
 1080 convection scheme (UNICON) and its impacts on the diurnal cycle of precipitation[J]. *J Adv Model*  
 1081 *Earth Syst*, 16(3): e2023MS003651.
- 1082 Patton E G, Sullivan P P, Shaw R H, et al., 2016. Atmospheric stability influences on coupled boundary  
 1083 layer canopy turbulence[J]. *J Atmos Sci*, 73: 1621–1647. <https://doi.org/10.1175/JAS-D-15-0068.1>.
- 1084 Paz C, Suárez E, Gil C, et al., 2020. CFD analysis of the aerodynamic effects on the stability of the flight  
 1085 of a quadcopter UAV in the proximity of walls and ground[J]. *J Wind Eng Ind Aerodyn*,  
 1086 206:104378.
- 1087 Paz C, Suárez E, Gil C, et al., 2021. Assessment of the methodology for the CFD simulation of the flight  
 1088 of a quadcopter UAV[J]. *J Wind Eng Ind Aerodyn*, 218:104776.
- 1089

- 1090 Pensado E A, Carrera G F, López F V, et al., 2024. Turbulence-aware UAV path planning in urban  
 1091 environments[C]. In: Proceedings of the 2024 International Conference on Unmanned Aircraft  
 1092 Systems (ICUAS). Chania - Crete, Greece: IEEE, 280–285.
- 1093 Piroozmand P, Mussetti G, Allegrini J, Mohammadi M H, Akrami E, Carmeliet J, 2020. Coupled CFD  
 1094 framework with mesoscale urban climate model: Application to microscale urban flows with weak  
 1095 synoptic forcing. *J Wind Eng Ind Aerod*, 197: 104059.
- 1096 Porté-Agel F, Meneveau C, Parlange M B, 2000. A scale-dependent dynamic model for large-eddy  
 1097 simulation: Application to a neutral atmospheric boundary layer[J]. *J Fluid Mech*, 415: 261–  
 1098 284. <https://doi.org/10.1017/S0022112000008776>.
- 1099 Press H, Binckley E T, 1948. A preliminary evaluation of the use of ground radar for the avoidance of  
 1100 turbulent clouds[R]. NACA Tech Note NACA-TN-1684: 14 pp. <https://ntrs.nasa.gov/api/citations/19930082322/downloads/19930082322.pdf>.
- 1101 Repetto M P, Burlando M, Solari G, et al., 2017. Integrated tools for improving the resilience of seaports  
 1102 under extreme wind events[J]. *Sustain Cities Soc*, 32: 277–294.
- 1103 Ripesi P, Criscuolo P, 2024. Low-level wind shear prediction based on machine learning techniques: A  
 1104 case study of Palermo-Punta Raisi International Airport[C]. SID.2024.1.08.
- 1105 Roberts R D, Wilson J W, 1989. A proposed microburst nowcasting procedure using single-Doppler  
 1106 radar[J]. *J Appl Meteor*, 28: 285–303. [https://doi.org/10.1175/1520-0450\(1989\)028<0285:APMNP>2.0.CO;2](https://doi.org/10.1175/1520-0450(1989)028<0285:APMNP>2.0.CO;2).
- 1107 Robinson S K, 1991. Coherent motions in the turbulent boundary layer[J]. *Annu Rev Fluid Mech*, 23(1):  
 1108 601–639.
- 1109 Rogers M M, Moin P, 1987. The structure of the vorticity field in homogeneous turbulent flows[J]. *J Fluid Mech*, 176: 33–66.
- 1110 Salesky S T, Chamecki M, Bou-Zeid E, 2017. On the nature of the transition between roll and cellular  
 1111 organization in the convective boundary layer[J]. *Bound-Layer Meteorol*, 163(1): 41–68. <https://doi.org/10.1007/s10546-016-0220-3>.
- 1112 Sauer J A, Munoz-Esparza D, 2020. The FastEddy® Resident-GPU accelerated large-eddy simulation  
 1113 framework: Model formulation, dynamical-core validation and performance benchmarks[J]. *J Adv Model Earth Syst*, 12(11): e2020MS002100. <https://doi.org/10.1029/2020MS002100>.
- 1114 Schlickemaier H W, 1989. Windshear case study: Denver, Colorado, July 11, 1988[R]. FAA Rep  
 1115 DOT/FAA/DS-89/19: 511 pp.
- 1116 Schmidt H, Schumann U, 1989. Coherent structure of the convective boundary layer derived from  
 1117 large-eddy simulations[J]. *J Fluid Mech*, 200: 511–562.
- 1118 Schwartz B, 1996. The quantitative use of PIREPs in developing aviation weather guidance products[J].  
 1119 *Wea Forecasting*, 11: 372–384. [https://doi.org/10.1175/1520-0434\(1996\)011<0372:TQUOPI>2.0.CO;2](https://doi.org/10.1175/1520-0434(1996)011<0372:TQUOPI>2.0.CO;2).
- 1120 Shao J, Zhuang Z, Yu Z, et al., 2024. The prospective application of machine learning in turbulence  
 1121 forecasting over China[J]. *J Appl Meteor Climatol*, 63(10): 1273–1285.
- 1122 Sharman C, Tebaldi G, Wiener G, et al., 2006. An integrated approach to mid- and upper-level  
 1123 turbulence forecasting[J]. *Wea Forecasting*, 21: 268–287. <https://doi.org/10.1175/WAF924.1>.
- 1124 Shi X, Chow F K, Street R L, et al., 2018. An evaluation of LES turbulence models for scalar mixing in  
 1125 the stratocumulus-capped boundary layer[J]. *J Atmos Sci*, 75: 1499–1507. <https://doi.org/10.1175/JAS-D-17-0392.1>.
- 1126 Siebesma A P, Soares P M M, Teixeira J, 2007. A combined eddy-diffusivity mass-flux approach for the  
 1127 convective boundary layer[J]. *J Atmos Sci*, 64(4): 1230–1248. <https://doi.org/10.1175/JAS3888.1>.
- 1128 Smagorinsky J, 1963. General circulation experiments with the primitive equation[J]. *Mon Wea Rev*, 91:  
 1129 99–165. [https://doi.org/10.1175/1520-0493\(1963\)091<0099:GCEWTP>2.3.CO;2](https://doi.org/10.1175/1520-0493(1963)091<0099:GCEWTP>2.3.CO;2).
- 1130 Solari G, 2020. Thunderstorm downbursts and wind loading of structures: Progress and prospect[J].  
 1131 *Front Built Environ*, 6: 63.
- 1132 Solari G, Repetto M P, Burlando M, et al., 2012. The wind forecast for safety management of port  
 1133 areas[J]. *J Wind Eng Ind Aerod*, 104: 266–277.
- 1134 Sommeria G, 1976. Three-dimensional simulation of turbulent processes in an undisturbed trade-wind  
 1135 boundary layer[J]. *J Atmos Sci*, 33: 216–241. [https://doi.org/10.1175/1520-0469\(1976\)033<0216:TDSOTP>2.0.CO;2](https://doi.org/10.1175/1520-0469(1976)033<0216:TDSOTP>2.0.CO;2).
- 1136 Song J, Liao K, Coulter R L, et al., 2005. Climatology of the low-level jet at the southern great plains  
 1137 atmospheric boundary layer experiments site[J]. *J Appl Meteorol*, 44: 1593–1606.
- 1138 Song Y L, Tian L L, Zhao N, 2020. The atmospheric turbulence characteristics in a diurnal cycle[J]. *Int J  
 1139 Mod Phys B*, 34(14n16): 2040109.
- 1140 Srivastava R C, 1985. A simple model of evaporatively driven downdrafts: Application to microburst  
 1141 downdraft[J]. *J Atmos Sci*, 42: 1004–1023. [https://doi.org/10.1175/1520-0469\(1985\)042<1004:ASMOED>2.0.CO;2](https://doi.org/10.1175/1520-0469(1985)042<1004:ASMOED>2.0.CO;2).

- 1151 Su T, Li Z, Kahn R, 2018. Relationships between the planetary boundary layer height and surface  
1152 pollutants derived from lidar observations over China: Regional pattern and influencing factors[J].  
1153 *Atmos Chem Phys*, 18(21): 15921–15935.
- 1154 Sullivan P P, McWilliams J C, Moeng C H, 1994. A subgrid-scale model for large-eddy simulation of  
1155 planetary boundary-layer flows[J]. *Bound-Layer Meteor*, 71: 247–  
1156 276. <https://doi.org/10.1007/BF00713741>.
- 1157 Tominaga Y, Stathopoulos T, 2011. CFD modeling of pollution dispersion in a street canyon:  
1158 comparison between LES and RANS. *J Wind Eng Ind Aerod*, 99, 340–348.
- 1159 Toparlar Y, Blocken B, Maiheu B, van Heijst G J F, 2017. A review on the CFD analysis of urban  
1160 microclimate. *Renew Sustain Energy Rev*, 80: 1613–1640.  
<https://doi.org/10.1016/j.rser.2017.05.248>
- 1161 Vraciu C V, 2024. Generalized eddy-diffusivity mass-flux formulation for the parametrization of  
1162 atmospheric convection and turbulence[J]. *Quart J Roy Meteor Soc*, 150(761): 2316–2337.
- 1163 Wang D Q, Zhang Y C, Huang A N, 2013. Climatic features of the south-westerly low-level jet over  
1164 southeast China and its association with precipitation over East China[J]. *Asia-Pac J Atmos Sci*,  
1165 49: 259–270.
- 1166 Weckwerth T, Horst T, Wilson J, 1999. An observational study of the evolution of horizontal convective  
1167 rolls[J]. *Mon Wea Rev*, 127(9): 2160–2179.
- 1168 Weckwerth T, Wilson J, Wakimoto R, et al., 1997. Horizontal convective rolls: Determining the  
1169 environmental conditions supporting their existence and characteristics[J]. *Mon Wea Rev*, 125(4):  
1170 505–526.
- 1171 Wei W, Zhang H S, Ye X X, 2014. Comparison of low level jets along the north coast of China in  
1172 summer[J]. *J Geophys Res: Atmos*, 119: 9692–9706.
- 1173 Whiteman C D, Bian X D, Zhong S Y, 1997. Low-level jet climatology from enhanced rawinsonde  
1174 observations at a site in the southern great plains[J]. *J Appl Meteorol*, 36: 1363–1376.
- 1175 Wilczak J M, Tillman J, 1980. The three-dimensional structure of convection in the atmospheric surface  
1176 layer[J]. *J Atmos Sci*, 37(11): 2424–2443.
- 1177 Williams J K, 2014. Using random forests to diagnose aviation turbulence[J]. *Mach Learn*, 95: 51–70.
- 1178 Wilson J W, 1986. An ill wind[J]. *Nat Hist*, 95: 48–51.
- 1179 Wilson J W, Roberts R D, Kessinger C, et al., 1984. Microburst wind structure and evaluation of Doppler  
1180 radar for airport wind shear detection[J]. *J Appl Meteor Climatol*, 23(6):898–915.
- 1181 Wilson J W, Wakimoto R M, 2001. The discovery of the downburst: T.T. Fujita's contribution[J]. *Bull  
1182 Amer Meteor Soc*, 82: 49–  
1183 62. [https://doi.org/10.1175/1520-0477\(2001\)082<0049:TDOTDT>2.3.CO;2](https://doi.org/10.1175/1520-0477(2001)082<0049:TDOTDT>2.3.CO;2).
- 1184 Witte B M, Singler R F, and Bailey S C, 2017. Development of an unmanned aerial vehicle for the  
1185 measurement of turbulence in the atmospheric boundary layer[J]. *Atmosphere*, 8(10):195.
- 1186 Wolfson M, 1990. Understanding and predicting microbursts[D]. Massachusetts Institute of Technology:  
1187 303 pp.
- 1188 Wolfson R, Delanoy R, Forman B, et al., 1994. Automated microburst wind shear prediction[C]. Lincoln  
1189 Lab J, 7: 399–426.
- 1190 Xian J, Lu C, Lin X, et al., 2024. Directly measuring the power-law exponent and kinetic energy of  
1191 atmospheric turbulence using coherent Doppler wind lidar[J]. *Atmos Meas Tech*, 17(6): 1837–  
1192 1850.
- 1193 Xian J, Qiu, Z, Luo H, et al., 2025. Turbulent energy budget analysis based on coherent wind lidar  
1194 observations[J]. *Atmos. Chem. Phys.*, 25,441–457, <https://doi.org/10.5194/acp-25-441-2025>.
- 1195 Xu X, Li X, Zhang Y, et al., 2024. Application of WRF-LES on the simulation of seasonal characteristics  
1196 of atmospheric boundary layer structure in Taklamakan Desert[J]. *Remote Sens*, 16(3): 558.
- 1197 Yan C, Miao S, Liu Y, Cui G. 2020. Multiscale modeling of the atmospheric environment over a forest  
1198 canopy. *Science China Earth Sciences*, 63, 875–890. <https://doi.org/10.1007/s11430-019-9525-6>
- 1199 Yao B, Wang Z, Fang Z, et al., 2024. Reconstruction of downburst wind fields using physics-informed  
1200 neural network[J]. *J Wind Eng Ind Aerod*, 254: 105935.
- 1201 Young G, Kristovich D, Hjelmfelt M, et al., 2002. Rolls, streets, waves, and more: A review of  
1202 quasi-two-dimensional structures in the atmospheric boundary layer[J]. *Bull Amer Meteor Soc*,  
1203 83(7): 997–1001.
- 1204 Yue C, Desheng C, Zaihua G, 2010. Research on the relationship of Doppler radar and the lightning  
1205 warning[J]. *Meteor Environ Sci*, 1: 006.
- 1206 Zhang F, Zhang Q H, Du Y, et al., 2018. Characteristics of coastal low-level jets in the Bohai Sea,  
1207 China, during the early warm season[J]. *J Geophys Res: Atmos*, 123: 13763–13774.
- 1208 Zhang H, Wu S, Wang Q, et al., 2019. Airport low-level wind shear lidar observation at Beijing Capital  
1209 International Airport[J]. *Infrared Phys Tech*, 96:113–122.
- 1210 Zhou B, Gao F, Wang L, et al., 2019. Robust and efficient quadrotor trajectory generation for fast  
1211 autonomous flight[J]. *IEEE Robot Autom Lett*, 4:3529–3536.
- 1212
- 1213